

პალეანევი, მსუბუქი, ვებრუნებელი ისრისპაგვარი ფრთის, შინა ჰაერის ტიპის პარტოვის, ორსიგებრიული, მოკლე განილზე აფრენა-დაჯდომის, ძრავის რევერსის პიპერგებრითი (5 მანზე გეზი) სიჩქარის გეონე, გრავალფუნქციური სავხედრო თვითფრინავი



ანთხნულ პროექტზე ვეუგეოგთ სხვადასხვა მიმართულებით, კერძოდ ინოვაციური კაბინაზე, კოპერსორზე, ძრავებზე, კონსტრუქციაზე, უგილზო ტყუიამურაქზე და სხვა. ნინამღებარე სვატიაში განხილულია ანთიგაღებრითვის კაბინა თეორიული გეჟანიის ღონეზე.

თბილისი 2017

ანტიგადატვირთვა

გიორგი ქაჩლიშვილი

გაგა ლურსმანაშვილი

ელ-ფოსტა: giorgi.kachlishvili339@ens.tsu.edu.ge

ზუსტ და საბუნებისმეტყველო მეცნიერებათა ფაკულტეტი

ივ. ჯავახიშვილის სახელობის თბილისის სახელმწიფო უნივერსიტეტი

ქავჭავაძის გამზირი №3

თბილისი

ჩვენი სტატია ეძღვნება ავია - კოსმოსურ პრობლემას, კერძოდ დიდ სიჩქარეზე მოხვევის დროს გადატვირთვა აღემატება დასშვებს, რის გამოც ადამიანი იღუპება. ჩვენი მიზანია შევქმნათ ისეთი სისტემა, რომელიც გადაჭრის ამ პრობლემას. აღნიშნული სისტემა შეიძლება გამოყენებულ იქნეს უამრავი, რადიკალურად განსხვავებული მიმართულებით, თუმცა ამ კონკრეტულ შემთხვევაში ჩვენ ვმუშაობთ ინოვაციურ სამხედრო თვითმფრინავზე და ინოვაციურ კოსმოსურ მოძრაობაზე.

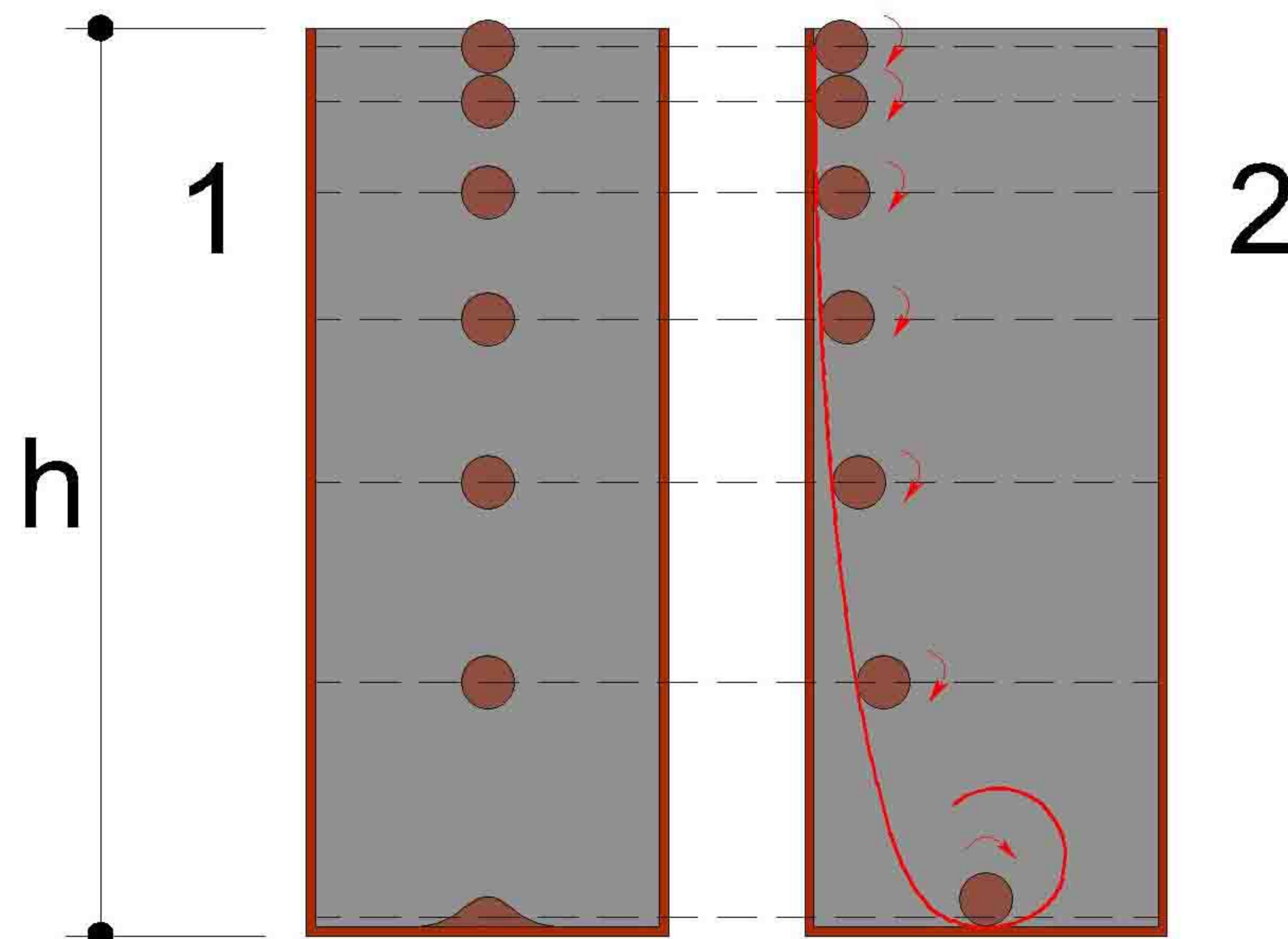
ერთი შეხედვით თითქოს შეუძლებელია ისეთი "ჭურჭლის" შექმნა, რომელშიც m მასის სხეულს (ფორმის დაურღვევლად), ყველგან შეღწევად ველშიც კი, ექნება უმნიშვნელო "წონა". თუმცა მეცნიერების ვალია თითქოსდა ყველასთვის ჭეშმარიტ პოსტულატებშიც კი ეჭვის შეტანა.

ლიტერატურა

სხვადასხვა თეორიული მექანიკის სახელმძღვანელო.

წინამდებარე სტატიაში აღწერილია ინოვაციური ტექნოლოგიის იდეა, რომელიც დაკავშირებულია აჩქარებულად მოძრავ სხეულზე მოქმედი ძალის გადანაწილებასთან. ე.ი პრობლემა შემდეგია: *პირობითად m მასის სხეულზე თუ მოქმედებს რაიმე F ძალა, რომელიც M სხეულს ანიჭებს a აჩქარებას, შესაძლებელია კი ამ ძალის M სხეულის მთელს ზედაპირზე გადანაწილება?!* სალი აზრი გვკარნახობს, რომ შესაძლებელია. მსგავსი ეფექტი ხდება უამრავ ბუნებრივ თუ ადამიანის მიერ შექმნილ პროცესებში. მაგალითად თუ მინის ჭიქას გადმოვაგდებთ სიმალიდან მყარ ზედაპირზე აუცილებლად გატყდება, მაგრამ თუ იგივე სიმალიდან იგივე ჭიქას ჩავაგდებთ წყალში ჭიქა არ გატყდება.

ანალოგიური მოვლენა ხდება შემდეგ სიტუაციაშიც. განვიხილოთ h სიმალის ორი ჭურჭელი. პირველ ჭურჭელში ვაგდებთ სხეულს, რომელიც ვარდება თავისუფალი g აჩქარებით და ჭურჭლის ფსკერზე დაცემისას ტყდება. მეორე ჭურჭელში იგივე h სიმალიდან გარკვეული ტრაექტორიით გორდება იგივე სხეული, რომელსაც ანალოგიური ვერტიკალური სიჩქარე აქვს, მაგრამ ჭურჭლის ფსკერზე მიღწევისას არ ტყდება. გარკვეული მანევრის შესრულების შემდეგ ჩერდება. ბრუნვის ენერჯის გამო ურთიერთქმედების ძალა გადანაწილდა დიდ ფართობზე დიდ დროში.



სხეული ვარდება ერთნაირი ვერტიკალური სიჩქარით პირველ შემთხვევაში თყდება მეორეში არა

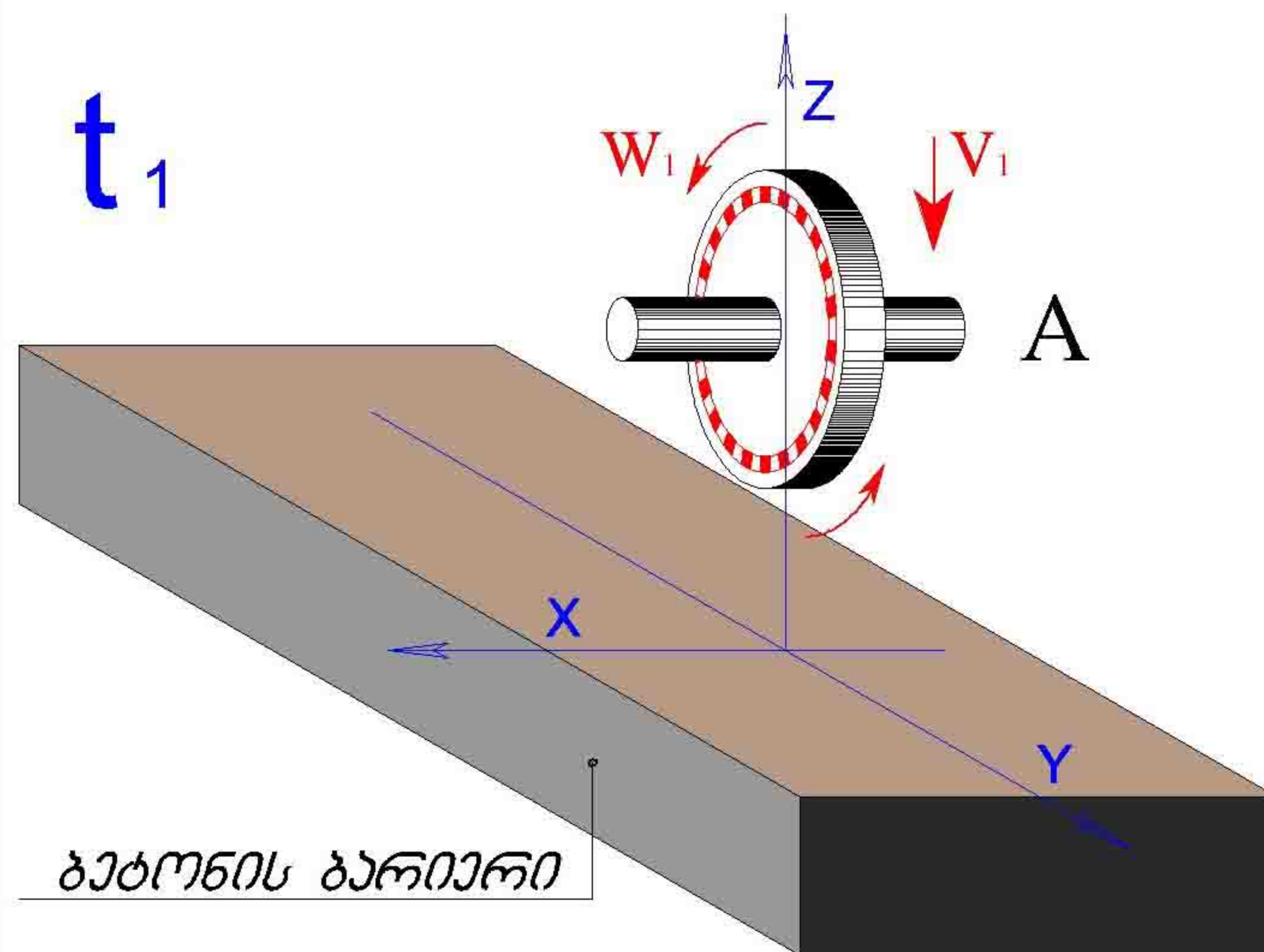
ჩვენს იდეას შესაძლოა ქონდეს უამრავი გამოყენება სხვადასხვა მიმართულებით, რადგანაც ეს არის ერთგვარი ჭურჭელი, რომელიც თავისებურ ეკრანირებას უკეთებს ისეთ ყველგან შეღწევად ველებსაც კი, როგორც არის გრავიტაცია. ამ შემთხვევაში წინამდებარე მოდელი წარმოადგენს ავია-კოსმოსურ ტექნოლოგიას.

აღნიშნული პრობლემის გადასაჭრელად შესაძლებელია გამოყენებულ იქნას უამრავი მიდგომა, მაგალითად აერო-დინამიკური განტოლებების ჩაწერა და შესაბამისი ამონახსნების მონახვა. თუმცა ჩვენ ეს პრობლემა ჩავწერთ ეილერ-ლაგრანჟის განტოლებებში, რადგანაც აღნიშნული მიდგომა გულისხმობს სისტემის მინიმალურ ენერგიას. არ ვამტკიცებთ, რომ ეს მიდგომა საუკეთესოა, ანდა საუკეთესოდ ან თუნდაც რაიმე აზრით ოპტიმალურად წყვეტს ჩვენს პრობლემას, უბრალოდ გთავაზობთ პრობლემის გადაჭრის ერთ-ერთ კარგად შესწავლილ გზას.

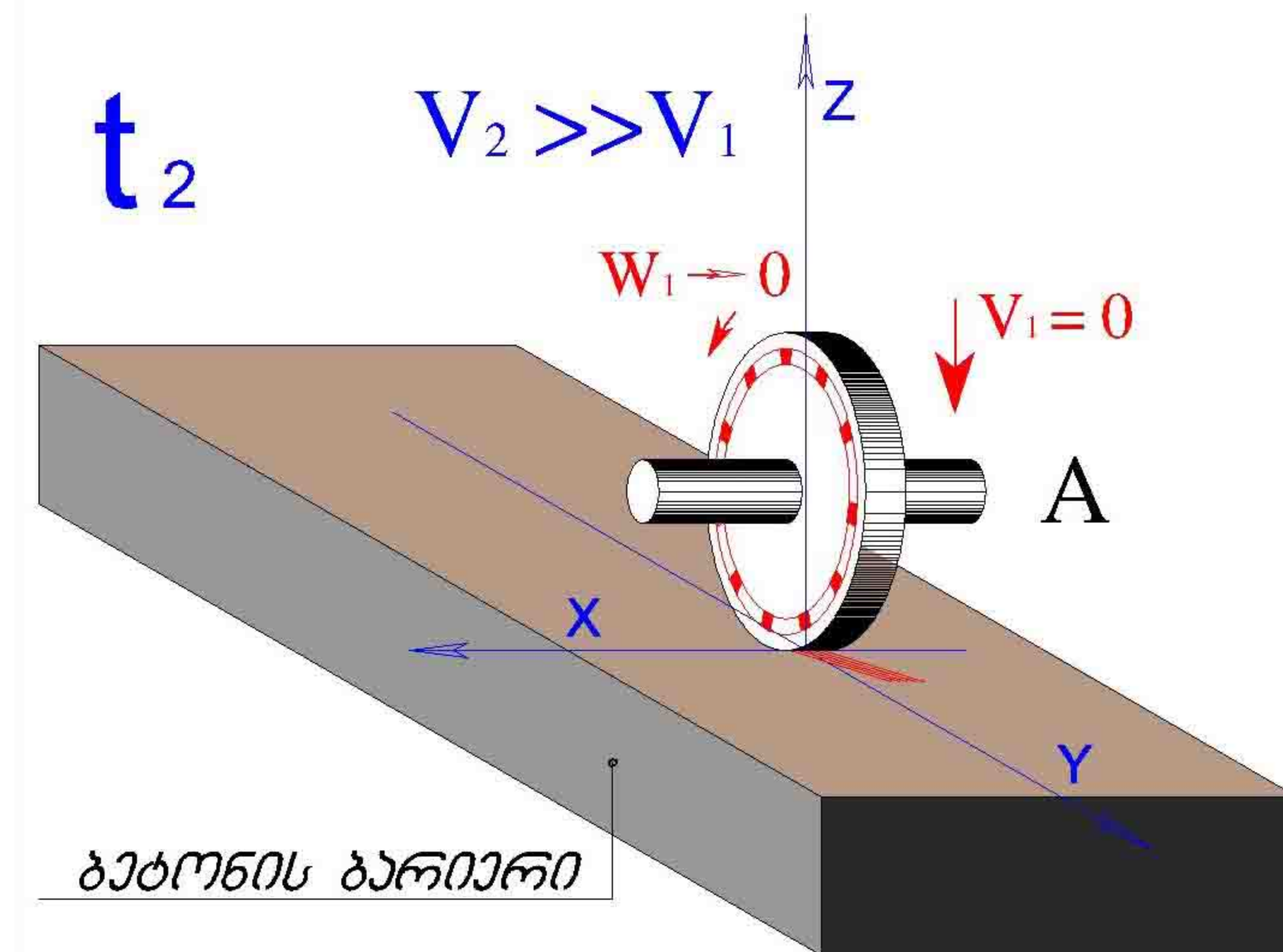
სტატია არ გულისხმობს, რომ შესაძლებელია ნებისმიერი ძალის გადანაწილება სივრცე-დროში. ასევე პრობლემის სირთულის გამო მოვახდინეთ სხვადასხვა გამარტივება. მაგალითად, M სხეულის მაგივრად განვიხილეთ m წერტილოვანი მასა, რაც გარკვეულ მიახლოებაში დასაშვებია.

ცნობილია, რომ მრავალი გადატვირთვის პირობებში ადამიანის გული არის ერთ-ერთი ყველაზე სუსტი რგოლი. ამის გამო შემდგომში ჩავთვლით, რომ m მასის წერტილოვან სხეულში იგულისხმება სწორედ გული.

წინამდებარე ნახატებზე გამოსახული A სხეული არ წარმოადგენს რაიმე ღირსშესანიშნობას. ჩვენ მისი გამოგონება დაგვჭირდა შემდეგი ფაქტის ასახსნელად.

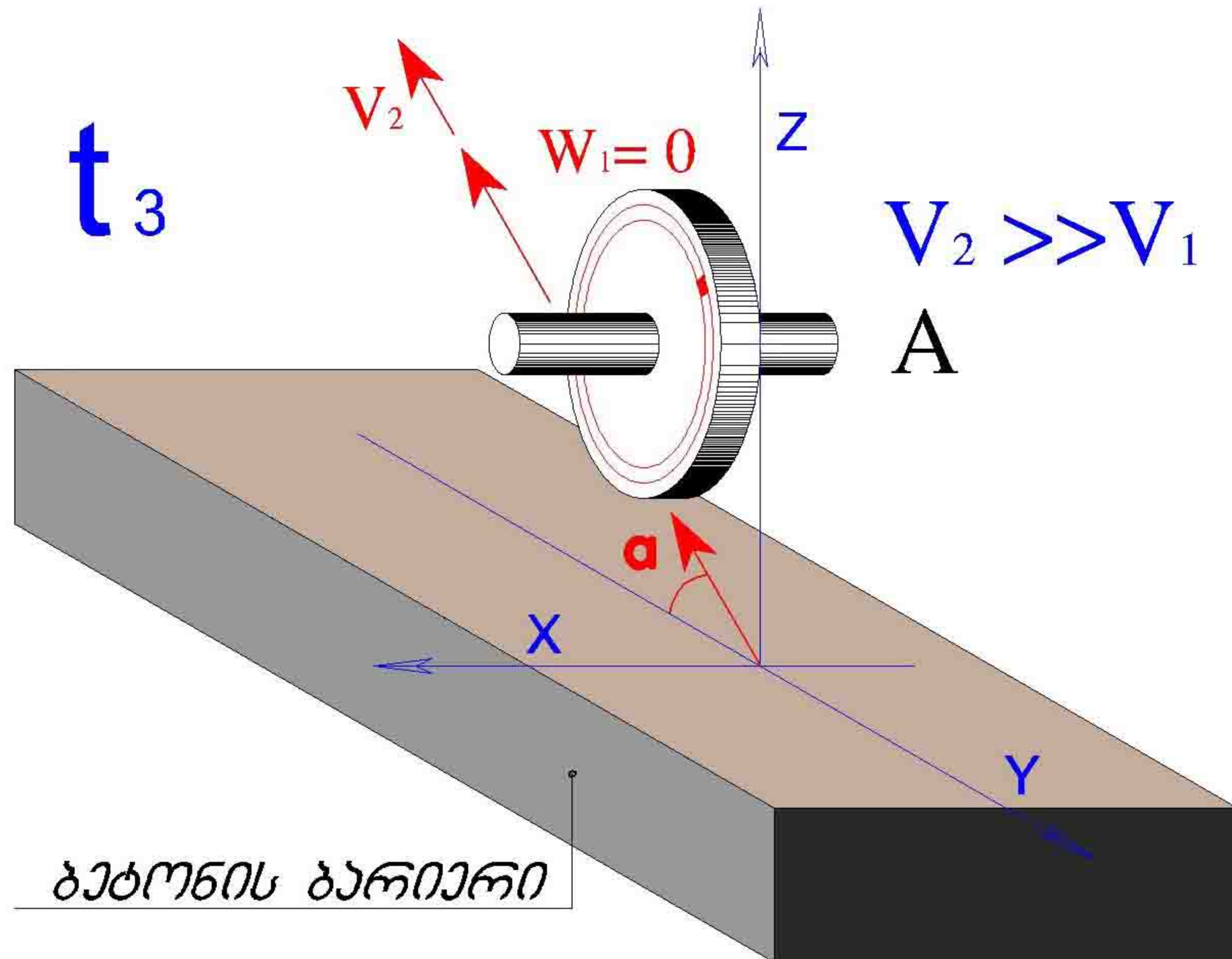


დაუგვანო A სხეული მცირე V_1 სიჩქარით და დიდი W_1 ჰორიზონტალური სიჩქარით მოძრაობს ბატონის ბარიერისკენ.

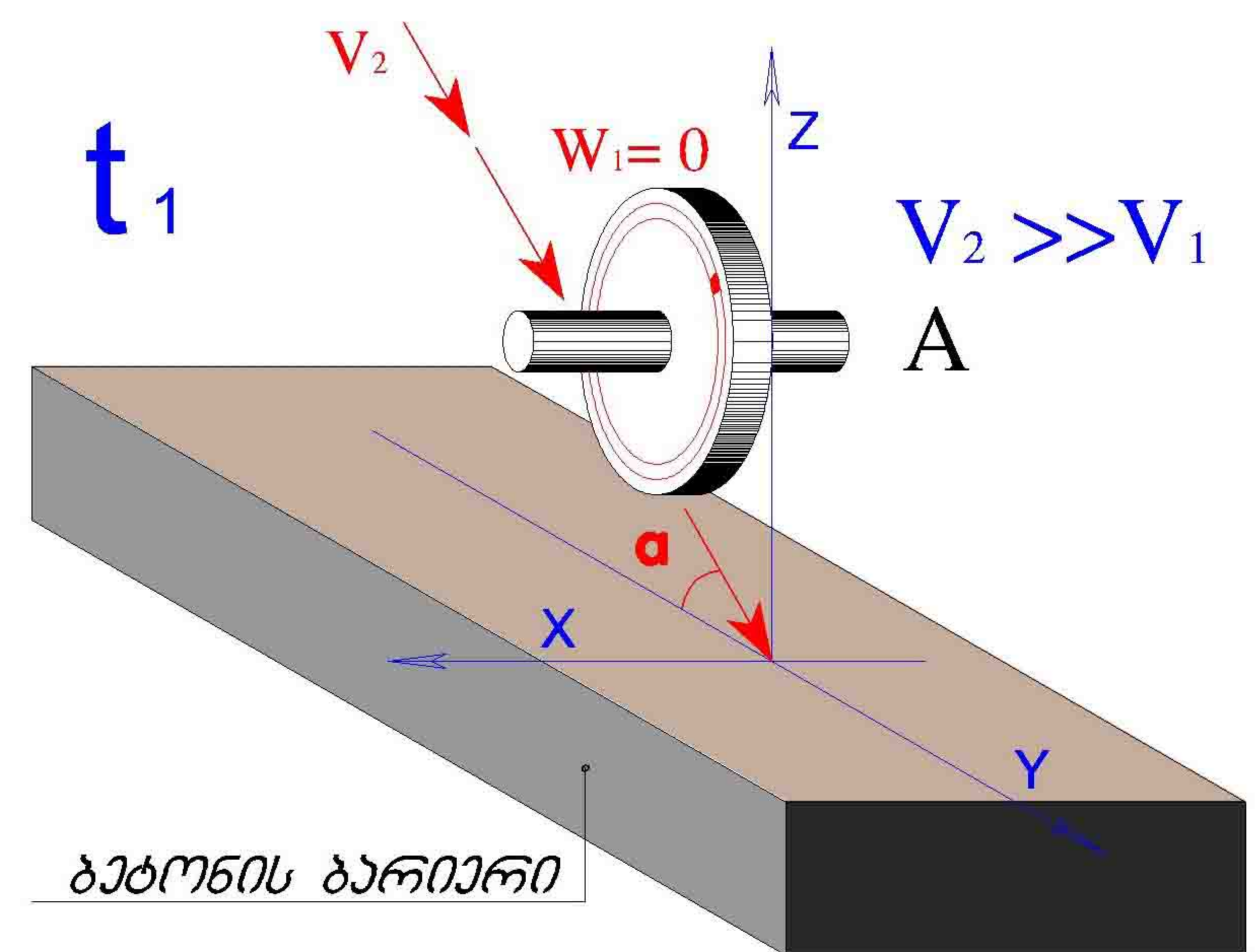


დროის t_2 მომენტში A სხეული მცირე V_1 სიჩქარით და დიდი W_1 ჰორიზონტალური სიჩქარით გაახვდა ბატონის ბარიერს.

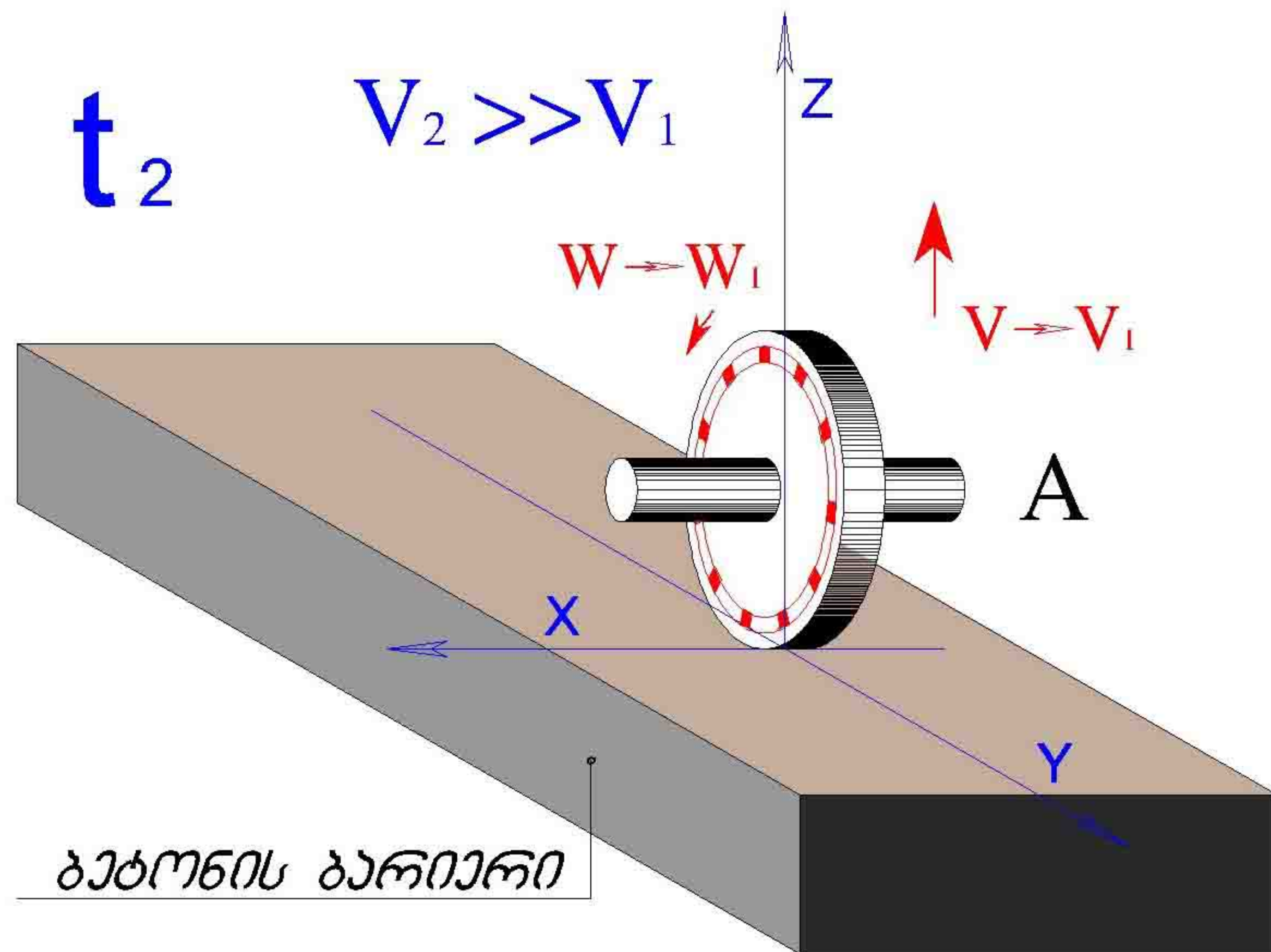
ბატონის ბარიერის ინერტულობის გამო A სხეულის W_1 ჯეტური სიჩქარის შესაბამისი ბრუნვითი ენერგია თითქმის მთლიანად გარდაიქმნება A სხეულის ჰინეტიკურ ენერგიად, შესაბამისი V_2 წირითი სიჩქარით. მივიღებთ რეჟიმ მოძრაობას ბატონის ბარიერისადმი α ჯეტით.



განვიხილოთ იგივე სიტუაცია დროის შუბრუნებით. A სხეული დიდი V_2 წირითი სიჩქარით უახლოვდება ინერტულ ბატონის ბარიერს α ჯეტით. ამ დროს მას არ გააჩნია ბრუნვითი ენერგია (არ ბრუნავს).



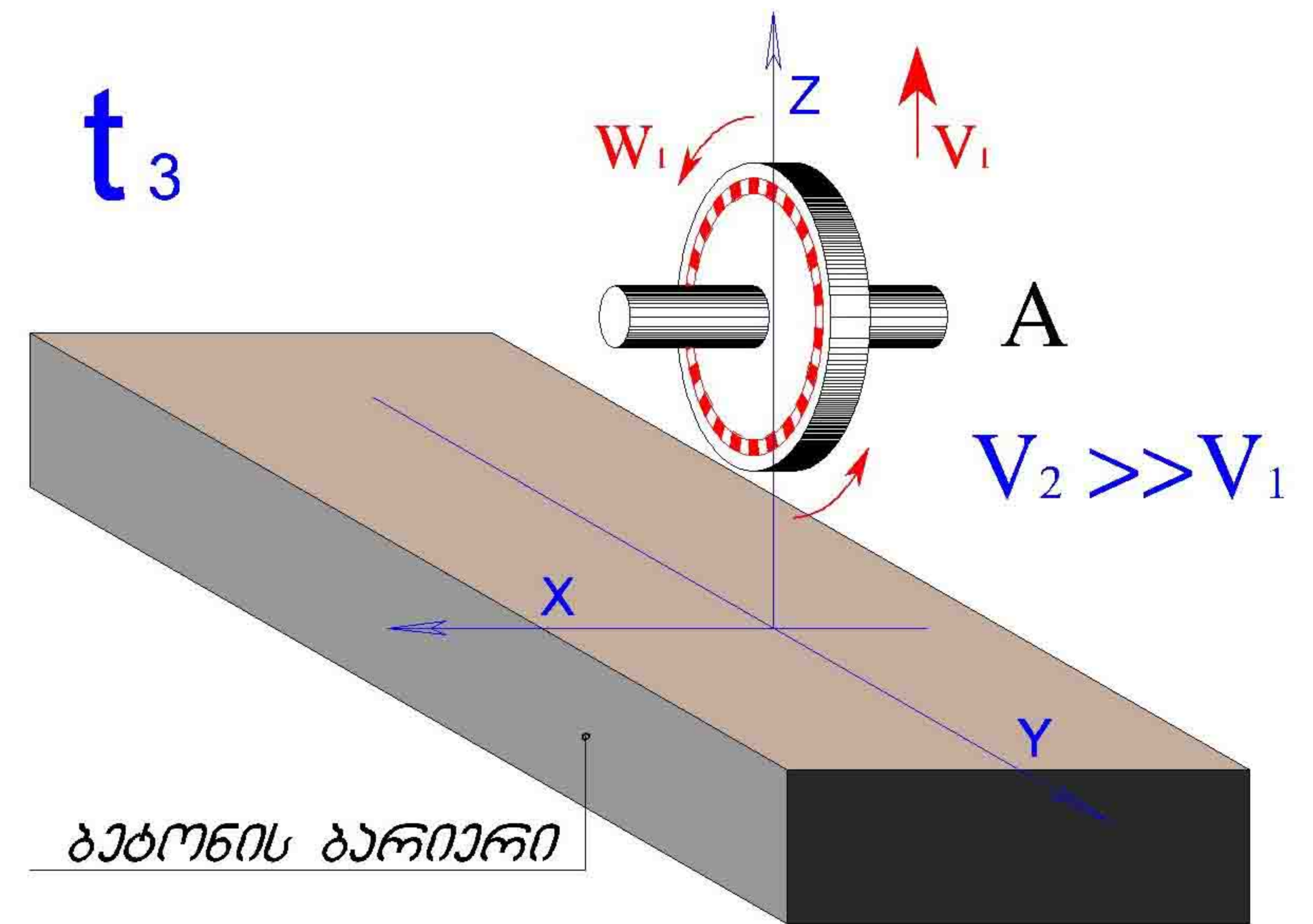
დროის t_2 მომენტში A სხეული დიდი V_2 წიქარით სიქარით და ნულვანი W_1 ჯეთხური სიქარით ეახება ბეტონის ბარიერს. ხდება შეზღუდული პროცესი, თითქმის მთელი V_2 -ის შესაბამისი ენერჯია გარდაიქმნება W_1 -ის შესაბამის ბრუნვით ენერჯიად.



ზოგჯერ ისაც ხდება, რომ ბეტონის ბარიერზე დაჯახებისას მანძილ 300 სმ / სთ სიქარეს ჯარგავს ხუთ მეტრში, სამაგიეროდ ზი იძენს დაახლოებით 20 ბრ / წმ სიხშირის შესაბამის ჯეთხური იქარეს. ამ დროს აშუალო ჩქარება წავს 70 g-ს.



დროის t_3 მომენტში მივიღებთ A სხეულის მცირე V_1 წიქარით სიქარეს და დიდ W_1 ჯეთხურ სიქარეს. ამდგარი მეთოდით შეიძლება აიხსნას როგორ გარდაიქმნება წიქარით სიქარე ჯეთხურ სიქარედ.



ძალიან იმის მტკიცება რა გხდა ამ აღმართის გარდაქმნის ზუსტი მიზები, მაგრამ არსებობს საფუძვლიანი ევრი იმისა, რომ ამის მიზები გხდა მანძილის ბრუნვა საუთური ღარის გარშემო დიდი სიქარით, ანუ მიღებული ენერჯია გარდაიქმნება დიდ ფართობზე.



ცნობილია, რომ ყოფილია შემთხვევა, როცა ალაშიანმა ჩაყვინთა 330 მ. სიღრმეზე. თუ დაუფიქრებთ, რომ ალაშიანის ზედაპირის ფართობი დაახლოებით 2 ჰკ.მ მაშინ მივიღებთ, რომ ალაშიანზე იმოქმედა 660 000 ჯილოგრამა. შევძიებდით ჩავთვალეთ, რომ წყალი არის ერთგვარი სასწორი, მაშინ ალაშიანის წონა, გარკვეულ პირობებში, ყოფილია 660 ტონა.

ე.ი. თუ 1 g -ს პირობებში ალაშიანის წონა არის 90 ჯილოგრამი, მაშინ 660000 ჯილოგრამის შესაბამისი აჩქარება გამოდის დაახლოებით 7333 g.

ეს ყველაფერი მიგვიჩვენებს იმაზე, რომ ალაშიანის სხეულს აქვს სახმარისი რესურსი, რისი გამოყენებაც არ ხდება.

თანამედროვე სამხედრო თვითმფრინავებში გადატვირთვა არ აღემატება 10 g-ს, ისიც ერთადერთი მიმართულებით. ჩვენი მიზანია ამ ლიმიტის გაზრდა.



$h=330$ მეტრზე წყლის წნევა 1 ჰკ.მ ფართობზე გამოდის 330 000 ჰგ. ე.ი. თუ ალაშიანის ზედაპირის ფართობი დაახლოებით არის 2 ჰკ.მ მაშინ გამოდის, რომ ალაშიანი იტანს 660 000 ჯილოგრამ დაწოლას.

რას ნიშნავს გადატვირთვა?

რაიმე აზრით გადატვირთვა დაუკავშიროთ წონას, ანუ როდესაც m მასის სხეული იმყოფება დედამიწის გრავიტრაციულ ველში და დევს რაიმე საყრდენზე ან ჭიმავს საკიდელს, მაშინ სასწორი გვიჩვენებს მის m წონას.

ცნობილია რომ დედამიწის მახლობლად $\approx 1g$ აჩქარების პირობებში სასწორი ისეა დაგრაღულირებული, რომ წონა ემთხვევა მასას. მაგრამ თუ ჩვენ m მასის სხეულს გამოძრავებთ აჩქარებით ვერტიკალურად ზევით ან ქვევით შეიცვლება სხეულის წონა, სწორედ ამ შემთხვევაში ვიტყვით, რომ სხეულზე მოქმედებს გადატვირთვა ან სხეული იმყოფება გადატვირთვაში. იმის მიხედვით, თუ რომელი მიმართულებით იცვლება სხეულის წონა შეგვიძლია შემოვიღოთ დადებითი და უარყოფითი გადატვირთვა. ნათქვამიდან გამომდინარე სხეულის წონის ცვლილება, ანუ გადატვირთვა ნიშნავს, რომ გარეშე ძალის გავლენით სხეული სხვაგვარად ურთიერთქმედებს საყრდენთან ან საკიდთან.

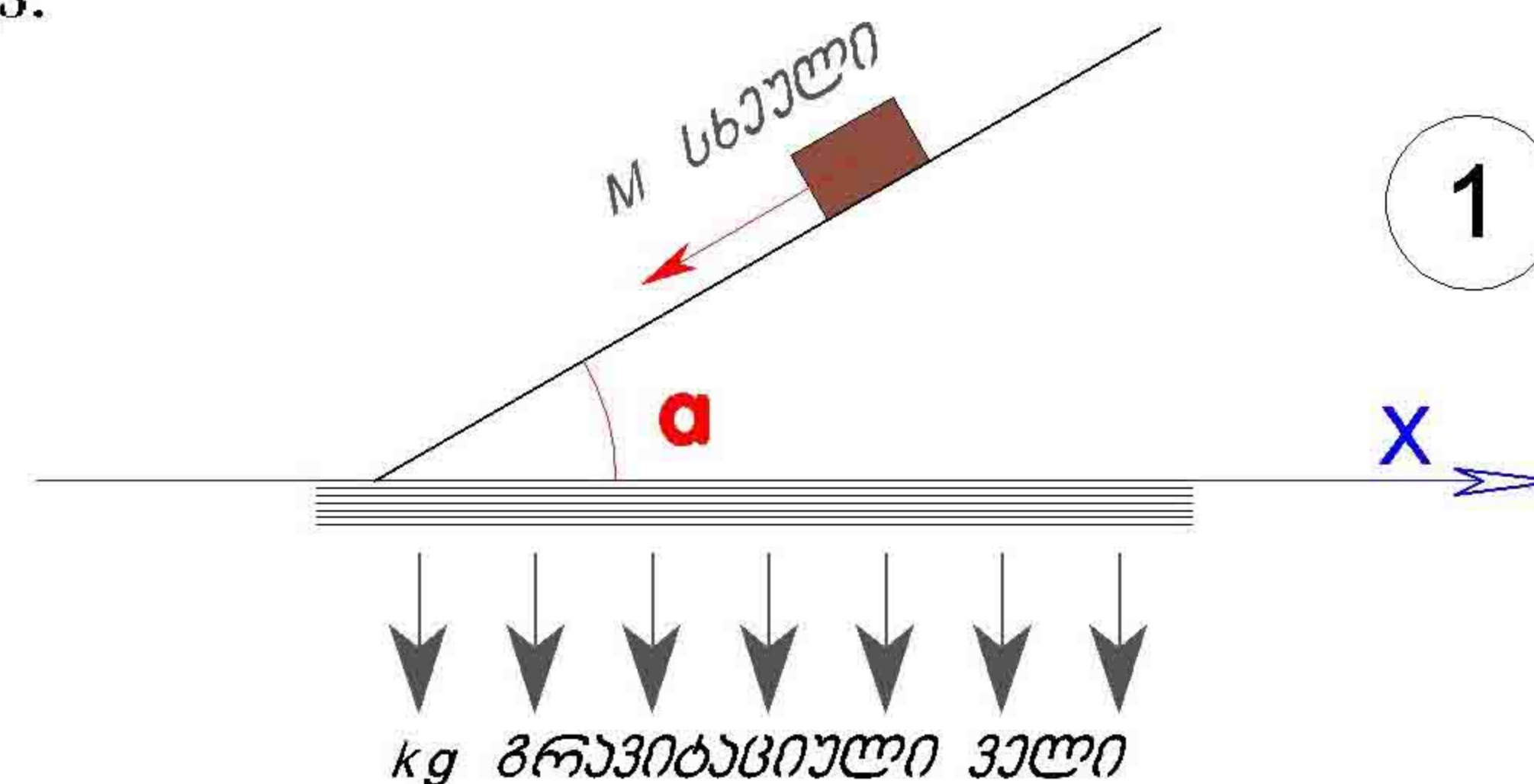
მართლაც თუ სხეული ვარდება, თავისუფალი ვარდნის აჩქარებით, მაშინ სხეული თავისუფალია ყოველგვარი საყრდენისგან ან საკიდისგან და ის იმყოფება უწონო მდგომარეობაში ანუ გადატვირთვა ნულოვანია.

ახლა განვიხილოთ მავთული, რომელიც აბსოლიტურად წრფივია და დედამიწის მახლობლად არის, რაღაც α კუთხით დახრილი (ნახ.1). რისი ტოლი იქნება ამ შემთხვევაში m მასის სხეულის წონა? ამ საკითხში უკეთ გასარკვევად შემოვიღოთ „წონის ნაკადი“ ცნება. ე.ი. „წონის ნაკადი“ იყოს საყრდენის ფართის ერთეულზე მოქმედი წონა. ან უფრო სწორედ საყრდენის ფართის ერთეულში გამავალი წონა \vec{G} . მაშინ წონის ნაკადი იქნება:

$$\vec{N} = \int \vec{G} d\vec{f} \quad (1)$$

ჩვენ შეგვიძლია განვიხილოთ $\frac{\partial \vec{N}}{\partial t} = \psi(x)$ ნაკადის სიჩქარე, რომელიც აღიწერება $\psi(x)$ ფუნქციით ან უწყვეტობის განტოლებას:

$$\frac{dN_i}{dx_i} = 0. \quad \text{და სხვა.}$$



დაუშვათ გვაქვს რაიმე სასრული ჩაკეტილი ზედაპირი, რომელიც შემოსაზღვრავს სასრულ dV მოცულობას. მაშინ გაუს-ოსტოგრადსკის ფორმულის თანახმად

$$\iiint \operatorname{div} \vec{G} dV = \iint \vec{G} d\vec{f} \quad (2).$$

ამ ფორმულიდან ჩანს, რომ თუ dV მოცულობის შემოსაზღვრულ ფართობს წავიღებთ უსასრულობაში, მაშინ წონის ნაკადი, ან რაც იგივეა გადატვირთვა, გადანაწილდება უსასრულო ფართობზე. მივიღებთ, რომ სხეულზე, რომელზეც მოქმედებს უსასრულო საყრდენი ქმნის ნოლოვან წონას, გადატვირთვას. რადგანაც საყრდენის თითოეულ წერტილში საყრდენის რეაქციის ძალა არანულოვანი რომ ყოფილიყო, მაშინ წონა გამოვიდოდა უსასრულო ე.ი.

$$\iiint \operatorname{div} \vec{G} dV = \iint \vec{G} d\vec{f} = 0$$

წონა ნოლდება, როცა f ზედაპირი მიისწრაფის ∞ -კენ.

ისევე როგორც V მოცულობისთვის F ზედაპირი, ანალოგიურად შეგვიძლია განვიხილოთ S ზედაპირის ზედაპირად I წირი. მაშინ გაუს-ოსტოგრადსკის ფორმულის თანახმად გვექნება:

$$\iint \operatorname{div} \vec{G} dS = \oint \vec{G} d\vec{l} \xrightarrow{l \rightarrow \infty} 0$$

ანუ თუ უსასრულო მავთულზე დავეიდებთ m მასის სხეულს, მაშინ მავთულის თითოეულ წერტილში სხეულის წონა იქნება ნოლოვანი. გავარკვიოთ რას ნიშნავს უსასრულო მავთული და როგორ შეიძლება მისი სასრულ საზღვრებში წარმოდგენა.

განვიხილოთ რაიმე R რადიუსიანი წრეწირი და R წავიღოთ უსასრულობაში, მაშინ წრეწირის სიმრუდისთვის გვექნება

$$\rho = \frac{1}{R}$$

ფორმულის თანახმად

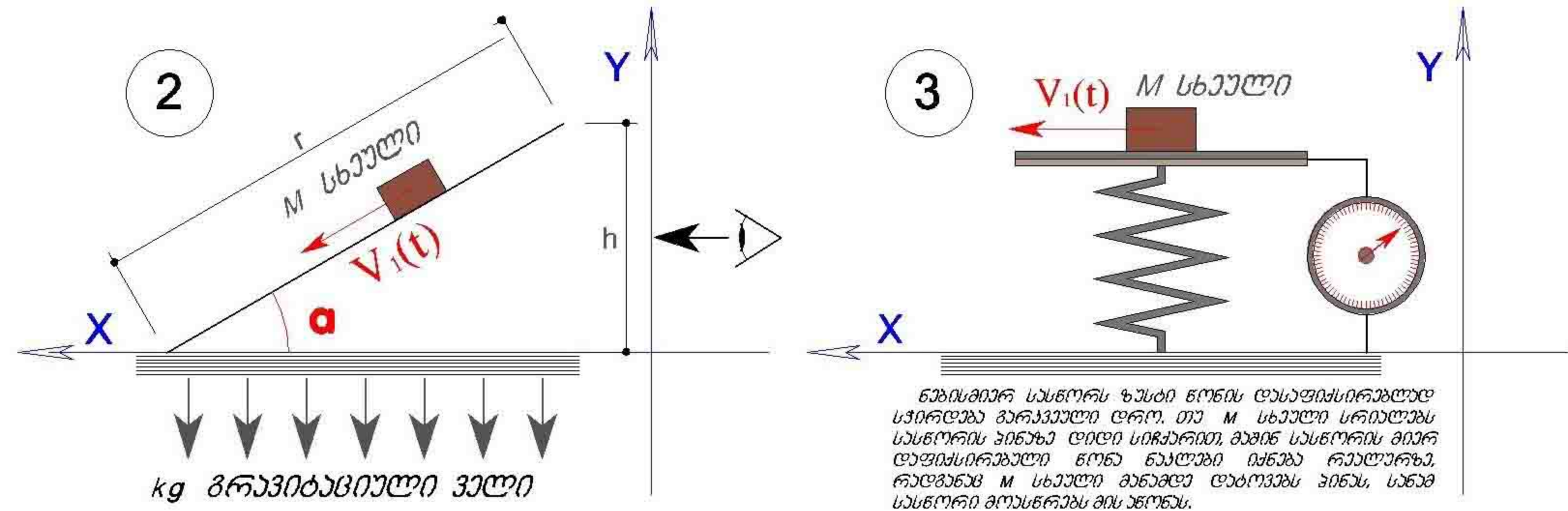
$$\rho \rightarrow 0 \text{ როცა } R \rightarrow \infty.$$

ანუ უსასრულო რადიუსიან წრეწირს ვერაფრით გავარჩევთ წრფისგან, რომლის სიმრუდის რადიუსიც ნოლის ტოლია.

მივიღეთ, რომ თუ სხეული დაკიდებულია (გადანაწილებულია) უსასრულო მავთულზე, მაშინ მისი წონა 0-ია.

როგორ შეიძლება იყოს სასრული ზომის სხეული განაწილებული უსასრულო წრფეზე? ვფიქრობ ამის წარმოდგენა ამ ეტაპზე სცდება ნორმალური ადამიანის შესაძლებლობებს და ამიტომ განვიხილოთ გამარტივებული ვერსია. როგორც ზევით გვქონდა აღნიშნული, დაუშვათ გვაქვს უსასრულო მავთულის რაიმე სასრული l მონაკვეთი, რომელიც არის α კუთხით დახრილი დედამიწის ზედაპირის მიმართ (ნახ.2).

M მასის სხეულს შეუძლია ხახუნის გარეშე სრიალი მავთულზე. მარტივი მისახვერია შემდეგი ფაქტი: დაუშვათ m სხეული დევს სასწორზე. იმისთვის, რომ სასწორმა გვიჩვენოს სხეულის ზუსტი წონა, აუცილებელია სხეული გავაჩეროთ გარკვეული Δt დროით სასწორზე (ნახ.3).



თუ m მასის სხეული სრიალებს სასწორზე, მაშინ შესაძლებელია ისე შევარჩიოთ მისი \vec{v} სიჩქარე, რომ სასწორის AB უბანზე m სხეულის გაჩერების დრო ნაკლები იყოს, იმ დროზე რაც სჭირდება სასწორს m სხეულის ასაწონად. კონკრეტულ \vec{v} სიჩქარეზე საჭირო იქნება მოინახოს სასწორის პინას ზომა, ისეთი რომ მან მოასწროს სხეულის აწონა მანამ სანამ m სხეული დატოვებს მას. რაც მეტია სიჩქარე მით დიდი პინაა საჭირო. ე.ი სხეულის წონა და შესაბამისად გადატვირთვა, გადანაწილება მით უფრო დიდ სასწორზე, რაც მეტია მისი სიჩქარე.

თუ (ნახ.2) -ზე გამოსახულ სისტემას შევხედავთ x ღერზის გასწვრივ ისრის მიმართულებით დავინახავთ ვერტიკალურ მავთულს, რომელზეც სრიალებს m მასის სხეული (ნახ.3). ჩვენ შეგვიძლია $\vec{v}_1(t)$ სიჩქარე ისე შევარჩიოთ (ცხადია $\vec{v}_1(t)$ არ არის მუდმივი ფუნქცია), რომ (ნახ.4) ში დახატულ სურათში მოგვეჩვენოს თითქოს m მასის სხეული ვარდება თავისუფლად \vec{g} აჩქარებით. ასეთ შემთხვევაში ვიტყვი, რომ m მასის სხეულზე არ მოქმედებს ვერტიკალური მიმართულებით არანაირი საყრდენი ანუ მას არ გააჩნია წონა და შესაბამისად გადატვირთვაც ნულაა.

მაგრამ იმისათვის, რომ სხეულმა შეძლოს მავთულის გასწვრივ წრფივი მოძრაობა, საჭიროა x -ის გასწვრივ მოქმედებდეს

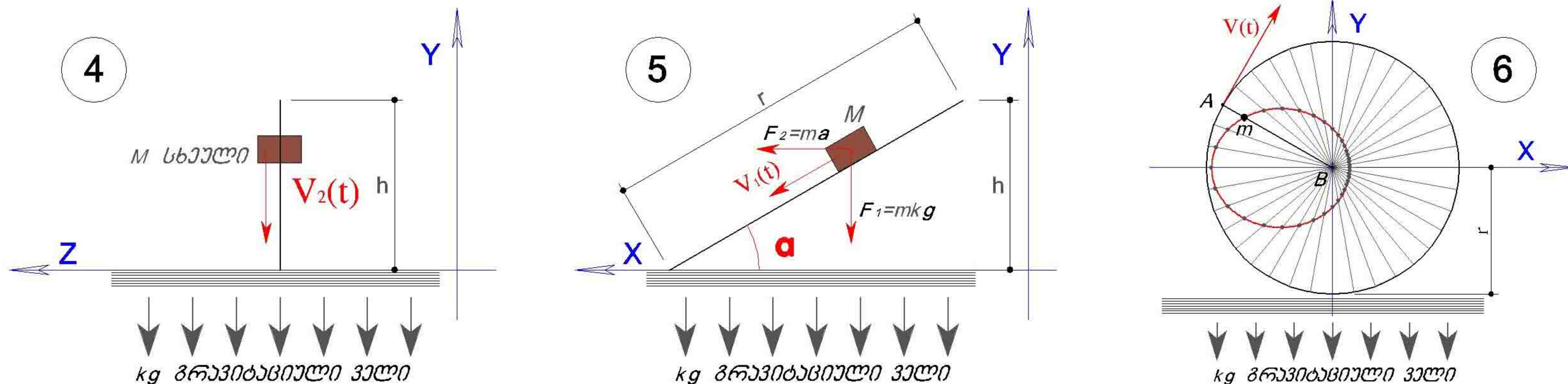
$$\vec{F}_2 = m\vec{a}$$

ძალა, რომელიც m სხეულს ანიჭებს \vec{a} აჩქარებას (ნახ.5). მოდიოთ ამ ფაქტს დავარქვათ სხეულზე მოქმედი წონის გადანაწილება ან რაც იგივეა გადატვირთვის გადანაწილება.

ახლა შევქმნათ კონსტრუქცია, რომელიც საშუალებას მოგვცემს r სიგრძის მავთულზე უსასრულოდ ვარდებოდეს m სხეული. ამისათვის r სიგრძის მავთულის ერთი ბოლო დავამაგრეთ და მეორე ბოლო ვატრიალოთ, ზოგადობის შეუზღუდავად xBy სიბრტყეში. მაშინ მავთულის თავისუფალი ბოლო, რომელიც A წერტილით აღვნიშნეთ შემოწერს r რადიუსიან წრეწირს (ნახ.6). როგორც (ნახ.6) -დან ჩანს მბრუნავი მავთული მოთავსებულია $k\vec{g}$ სიდიდის გრავიტაციულ ველში, რომლის გამოც m მასის სხეულზე მოქმედებს

$$\vec{F} = k\vec{g}m$$

ძალა, რადგანაც m სხეული თავისუფლად დასრიალებს r სიგრძის მავთულზე, ამიტომ \vec{F} ძალა აიძულებს მას ისროლოს ხან B ცენტრისკენ, ხან A წერტილისკენ. ისლა დაგვრჩენია ისეთნაირად შევარჩიოთ $\vec{\omega}(t)$ კუთხური სიჩქარე, რომ m სხეული A და B წერტილებს უახლოვდებოდეს არა უმცირეს წინასწარ დასახელებული რაიმე $\epsilon > 0$ მანძილისა, მაშინ ცხადია, რომ m სხეულზე A და B „საყრდენი“ არ იმოქმედებს, ანუ A და B „საყრდენებზე“ m სხეულის წონა იქნება ნულა და აქედან გამომდინარე m სხეულს A და B წერტილებში ექნება ნულა გადატვირთვა.



დარჩა გასარკვევი თუ როგორ შეექმნათ kg „გრავიტაციული“ ველი?! პასუხი მარტივია, ამისთვის საჭიროა (ნახ.6) გამოსახული სისტემა, r რადიუსიანი წრეწირი ცენტრით B , ვამოძრაოთ რაიმე R რადიუსიანი წრეზე ცენტრით O' შესაბამისი Ω კუთხური სიჩქარით. მართლაც თუ გადავალთ m სხეულის (ნახ.6) გამოსახულ საკუთარ სისტემაში ვნახავთ რომ kg „გრავიტაციული“ ველი არაფრით განსხვავდება $x'o'y'$ სისტემაში ხელოვნურად შექმნილი ცენტრისკენული ძალის $\vec{F}' = k\vec{g}m'$ შესაბამისი ველისგან, სადაც $r(t)$ ფუნქციით აღიწერება $|\vec{r}|$ რადიუსის ცვლილება, $\varphi_1(t)$ ფუნქციით \vec{R} რადიუსის ცვლილება, ხოლო $\varphi_2(t)$ ფუნქციით \vec{r} -ის ცვლილება (ნახ.7). ამ ნახატზე გამოსახული მოძრაობა თუმცა დასაშვებია, მაგრამ ჩვენთვის საინტერესოა ოპტიმალური ვარიანტის მოძიება, რაშიც დაგვეხმარება (ნახ.7) სისტემის დაგრუიანის ჩაწერა.

მივიღეთ საინტერესო სისტემა და ისლა დაგვრჩენია მოვიყვანოთ მისი პრაქტიკაში გამოყენების მაგალითები.

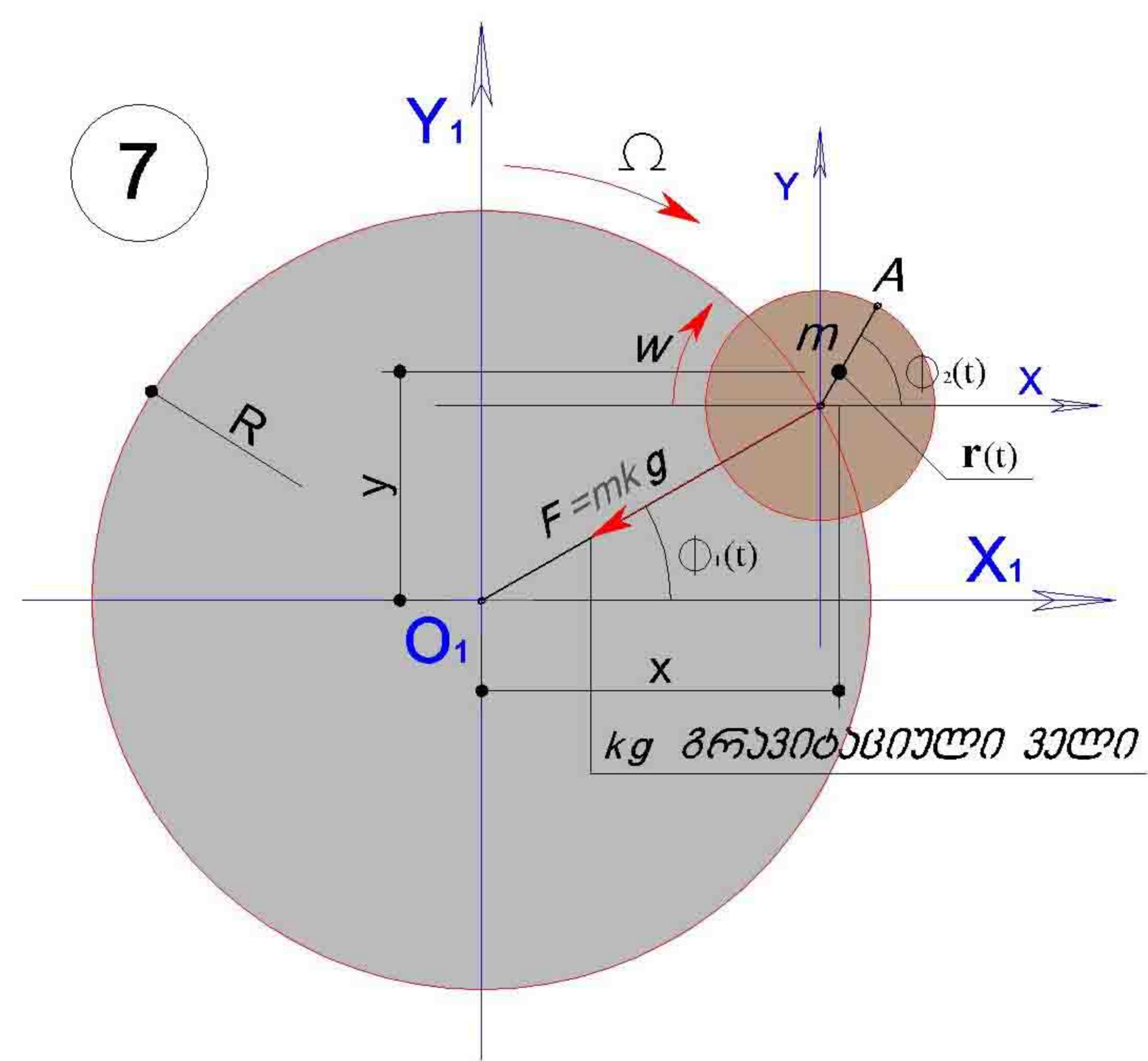
ჩვენ რამოდენიმე წელია ვმუშაობთ სამხედრო თვითმფრინავის ინოვაციურ კონცეფციაზე, სადაც ერთ-ერთი წამყვანი მიმართულებაა მაღალი გადატვირთვის ამტანი პილოტის კაბინის შექმნა.

გავერკვეთ რისთვის არის ეს საჭირო.

ცნობილია, რომ მაგალითად ამერიკული მრავალფუნქციური სამხედრო თვითმფრინავის $F-22$ -ის ღირებულება სრული აღჭურვილობით აღემატება 300 000 000 \$-ს, ხოლო მაღალი კლასის ჰაერი-ჰაერის ან მიწა-ჰაერის ლაზერული დამიზნების რაკეტის ფასი მერყეობს 1 000 000 \$-ს მიდამოში. ამასთან რაკეტის მიერ მიზანის დაჭერის ალბათობა ზოგჯერ 90% -საც კი აღემატება, სამხედროები ამ მოვლენას ასიმეტრიულ პასუხს უწოდებენ.

იმისთვის, რომ ლაზერული დაზიანება შეუძლებელი გაეხადათ ამერიკელებმა $F-22$ -ის შემთხვევაში აირჩიეს ანტირადარული სისტემა, რომელიც კატასტროფული ფასი ღირს და თანაც არსებობს სერიოზული ეჭვი იმისა, რომ შესაძლებელია მისი დამნახავი რადარის შექმნა (თუ ჯერ კიდევ არ არის შექმნილი). გარდა ამისა ინფრაწითელი დამიზნების რაკეტისგან მას ეს სისტემა ვერ იცავს.

ანტი ავიაციური რაკეტის კონცეფცია მარტივია: საჭიროა ჰქონდეს ოპტიმალური სიჩქარე და ოპტიმალური მანევრი მინიმალური წონის და მინიმალური ფასის პირობებში. ეს ყველაფერი ითვლება მისი სამიზნე თვითმფრინავის შესაბამისად. იმისთვის, რომ რაკეტას ჰქონდეს მაღალი სიჩქარე, მინიმალური წონა და მინიმალური ფასი, მას უკეთებენ მცირე ფრთებს. სწორედ მცირე ფრთების გამოა, რომ დიდი სიჩქარეზე დიდი კუთხით ზუსტი მანევრირება მას ძალიან უჭირს. თუ გავზრდით რაკეტის ფრთებს, ამავედროულად მინიმუმ კუბის პროპორციულად გაიზრდება წინააღმდეგობის ძალა და შესაბამისად შემცირდება სიჩქარე. ეს თავის მხრივ გამოიწვევს არაწრფივად, რაკეტის მასის და ფასის ზრდას, რის შედეგადაც, თუ თვითმფრინავის ფასსაც ჩამოვწევთ, მაგალითად 10-ჯერ, ანტი რადარული სისტემის ამოღების, ზომის შემცირების და უფრო ჭკვიანური აერო-დინამიკური ფორმის ხარჯზე, მივიღებთ საკმაოდ დაახლოებულ რაკეტის და თვითმფრინავის ფასებს. ეს ყველაფერი კი, გამოიწვევს ანტისიმეტრიული პასუხის გაბათილებას.



დაუშვათ გვაქვს რაიმე სასრული ჩაკეტილი ზედაპირი, რომელიც შემოსაზღვრავს სასრულ dV მოცულობას. მაშინ გაუს-ოსტოგრადსკის ფორმულის თანახმად

$$\iiint \operatorname{div} \vec{G} dV = \iint \vec{G} d\vec{f} \quad (2).$$

ამ ფორმულიდან ჩანს, რომ თუ dV მოცულობის შემოსაზღვრულ ფართობს წავიღებთ უსასრულობაში, მაშინ წონის ნაკადი, ან რაც იგივეა გადატვირთვა, გადანაწილდება უსასრულო ფართობზე. მივიღებთ, რომ სხეულზე, რომელზეც მოქმედებს უსასრულო საყრდენი ქმნის ნოლოვან წონას, გადატვირთვას. რადგანაც საყრდენის თითოეულ წერტილში საყრდენის რეაქციის ძალა არანულოვანი რომ ყოფილიყო, მაშინ წონა გამოვიდოდა უსასრულო ე.ი.

$$\iiint \operatorname{div} \vec{G} dV = \iint \vec{G} d\vec{f} = 0$$

წონა ნოლდება, როცა f ზედაპირი მიისწრაფის ∞ -კენ.

ისევე როგორც V მოცულობისთვის F ზედაპირი, ანალოგიურად შეგვიძლია განვიხილოთ S ზედაპირის ზედაპირად I წირი. მაშინ გაუს-ოსტოგრადსკის ფორმულის თანახმად გვექნება:

$$\iint \operatorname{div} \vec{G} dS = \oint \vec{G} d\vec{l} \xrightarrow{l \rightarrow \infty} 0$$

ანუ თუ უსასრულო მავთულზე დავეიდებთ m მასის სხეულს, მაშინ მავთულის თითოეულ წერტილში სხეულის წონა იქნება ნოლოვანი. გავარკვიოთ რას ნიშნავს უსასრულო მავთული და როგორ შეიძლება მისი სასრულ საზღვრებში წარმოდგენა.

განვიხილოთ რაიმე R რადიუსიანი წრეწირი და R წავიღოთ უსასრულობაში, მაშინ წრეწირის სიმრუდისთვის გვექნება

$$\rho = \frac{1}{R}$$

ფორმულის თანახმად

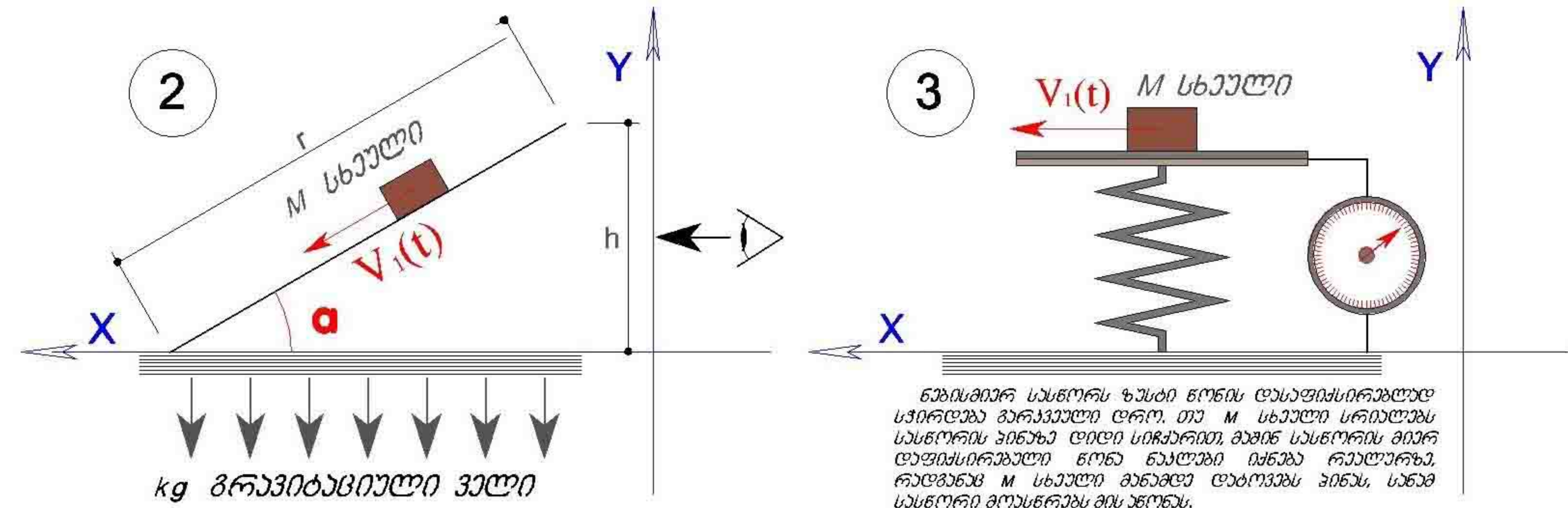
$$\rho \rightarrow 0 \text{ როცა } R \rightarrow \infty.$$

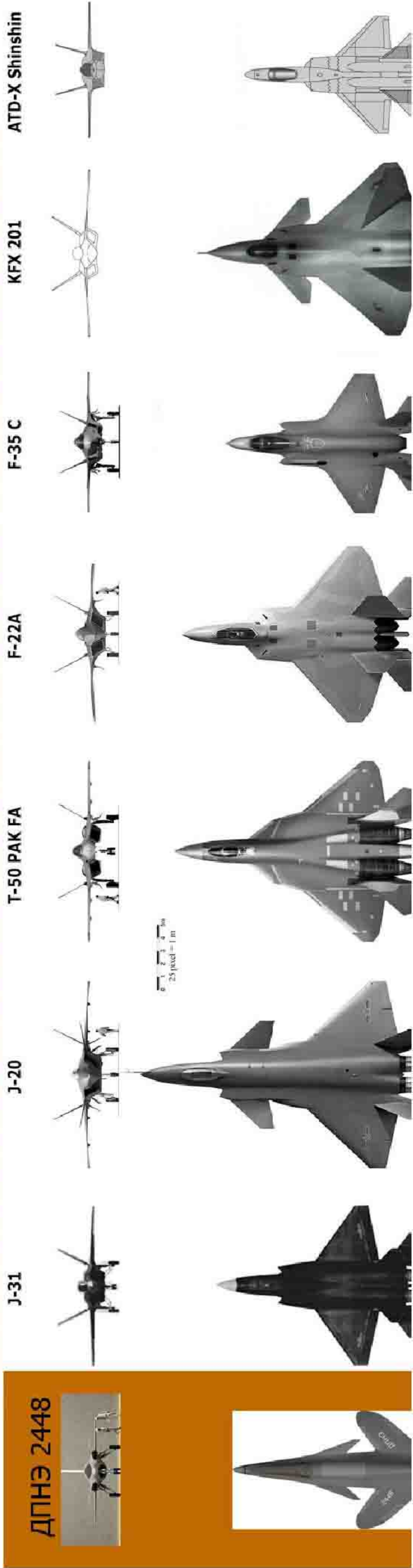
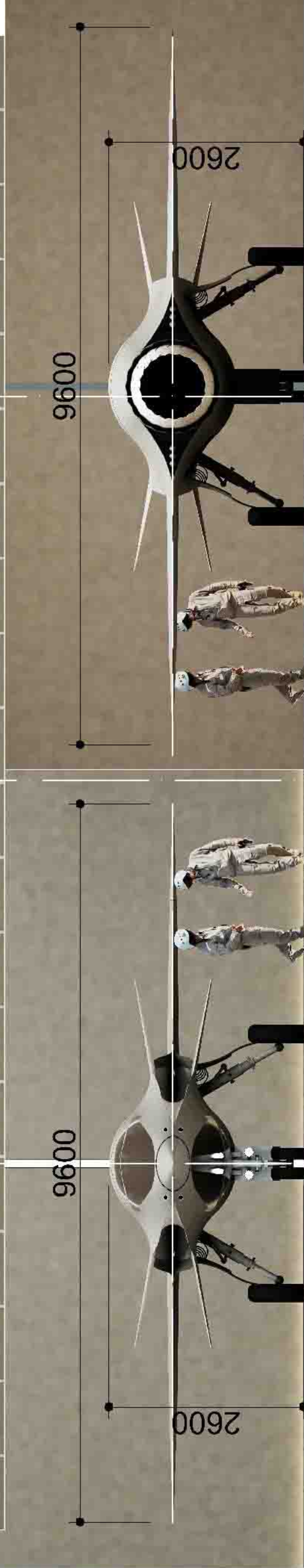
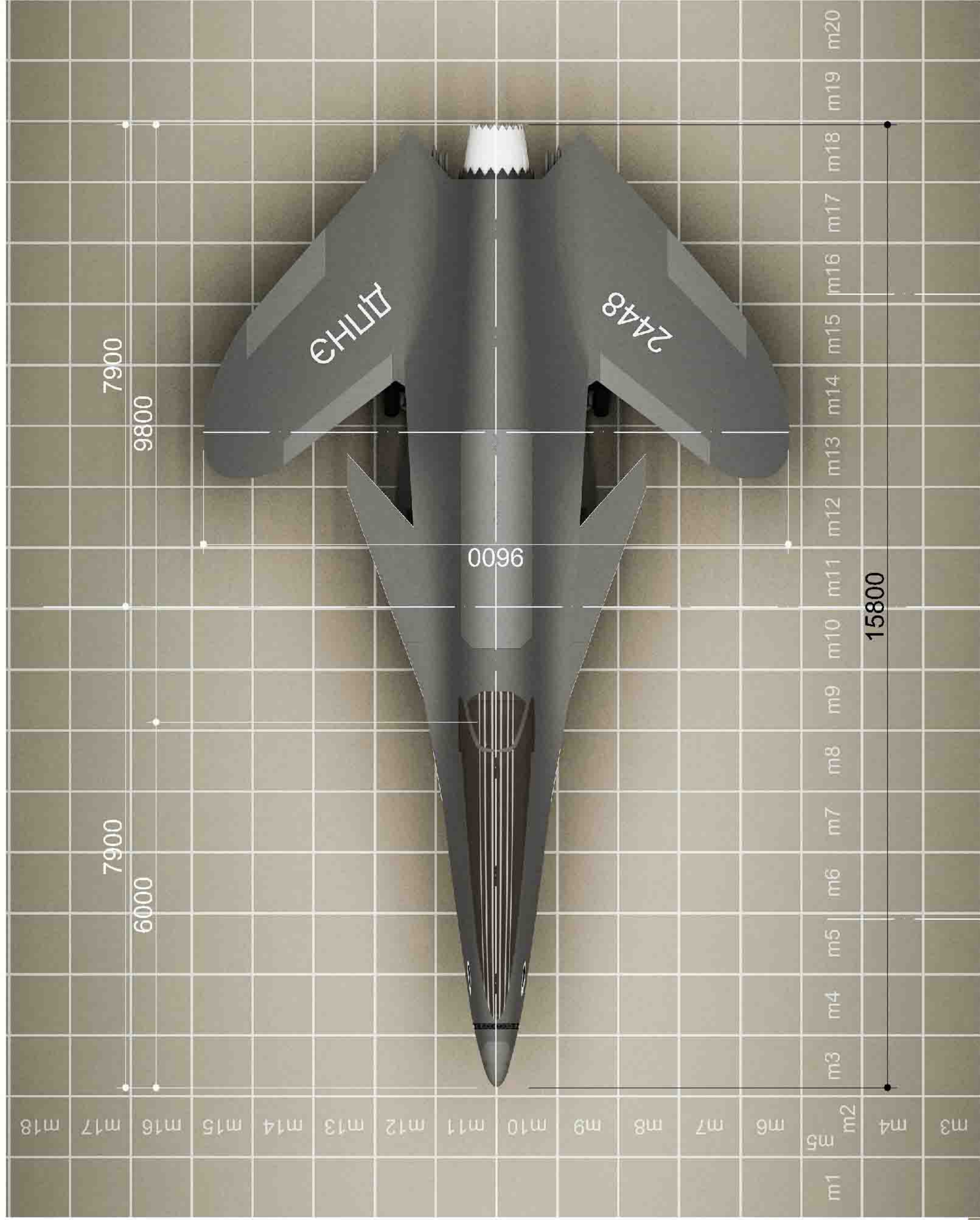
ანუ უსასრულო რადიუსიან წრეწირს ვერაფრით გავარჩევთ წრფისგან, რომლის სიმრუდის რადიუსიც ნოლის ტოლია.

მივიღეთ, რომ თუ სხეული დაკიდებულია (გადანაწილებულია) უსასრულო მავთულზე, მაშინ მისი წონა 0-ია.

როგორ შეიძლება იყოს სასრული ზომის სხეული განაწილებული უსასრულო წრფეზე? ვფიქრობ ამის წარმოდგება ამ ეტაპზე სცდება ნორმალური ადამიანის შესაძლებლობებს და ამიტომ განვიხილოთ გამარტივებული ვერსია. როგორც ზევით გვქონდა აღნიშნული, დაუშვათ გვაქვს უსასრულო მავთულის რაიმე სასრული l მონაკვეთი, რომელიც არის α კუთხით დახრილი დედამიწის ზედაპირის მიმართ (ნახ.2).

M მასის სხეულს შეუძლია ხახუნის გარეშე სრიალი მავთულზე. მარტივი მისახვერია შემდეგი ფაქტი: დაუშვათ m სხეული დევს სასწორზე. იმისთვის, რომ სასწორმა გვიჩვენოს სხეულის ზუსტი წონა, აუცილებელია სხეული გავაჩეროთ გარკვეული Δt დროით სასწორზე (ნახ.3).





ძირითადი, ძლიერ ფაქტობრივ სახვაჭა მომზადებ ნავალსური ძრავა ინოვაციური უმჯობესობით, უზრუნველყოფს ჰიპერსონიკით სიჩქარას, მრავალფუნქციური, ძლიერ ფაქტობრივ სახვაჭა მომზადებ მცირე ნავალსური ძრავა, მისი ძირითადი ფუნქციაა ურეზუსო წინალორის მართობა. სფერული მანქანის ჯაბინა, უზრუნველყოფს ბევრად მალე მანქანაზე გადაბვირთვამაძლიერებს ვიდრე არსებულ თვითმფრინვებში. ბარაბნული ტიპის სარაბატო გამგზავნი მოწყობილობა, ბოგების სავარაუდო მაქს. მასა 4.8 ტ. ასეთი გადაყვება უზრუნველყოფს დიდ სიჩქარაზე გასროლას. 30 მმ. ორლულიანი სწრაფსროლადი ტყვიამფრქვევი 50 გუს/წმ. საბრძოლო ურავლა 1000 ც. უგილო წერტი. მისი გამგზავნი მცირე ძრავა. უბანს ტიპის ტრინჯიანი, ასეთი გადაყვება უზრუნველყოფს მალე მანქანაზე და უსლოდებარე მანქანა მიწისაღორი წინალორის ვირობაში. წვეის ვაჭორის 40 გრადუსიანი ხუთხით გადახრა ნებისმიერი მიმართულებით.



სვლინ: ილუაროქები № 2448

მალე მანქანაზე, მსუბუქი, მშვენიერი ინჟინერული ფორმა, მინა-პაერის მიხის მარტონი, ოკსიდირებული, მოქალე მანქანაზე უფრო-დაჯლომის, ქრანის კავისის, უიარბებობით (სეთ მანქა მუხი) სიჩქარის მონე თვითმფრინვათი. მალე მანქანაზე უფრო-დაჯლომის, ქრანის კავისის, უიარბებობით (სეთ მანქა მუხი) სიჩქარის მონე თვითმფრინვათი. მალე მანქანაზე უფრო-დაჯლომის, ქრანის კავისის, უიარბებობით (სეთ მანქა მუხი) სიჩქარის მონე თვითმფრინვათი.

1. ფუნქცია: ძირითადი მანქანაზე უფრო-დაჯლომის, ქრანის კავისის, უიარბებობით (სეთ მანქა მუხი) სიჩქარის მონე თვითმფრინვათი.
2. მანქანის მუხი: 15.8 მ. X 2.6 მ. X 9.6 მ. არტეტი № 2448 მასა ურავით მის. - 35, უ - 35, ბრინჯის, რაჭალის და უარბებობით, თხუხუ მალე მანქანაზე უფრო-დაჯლომის, ქრანის კავისის, უიარბებობით (სეთ მანქა მუხი) სიჩქარის მონე თვითმფრინვათი.
3. მონტაჟიანი მანქანაზე უფრო-დაჯლომის, ქრანის კავისის, უიარბებობით (სეთ მანქა მუხი) სიჩქარის მონე თვითმფრინვათი. მალე მანქანაზე უფრო-დაჯლომის, ქრანის კავისის, უიარბებობით (სეთ მანქა მუხი) სიჩქარის მონე თვითმფრინვათი. მალე მანქანაზე უფრო-დაჯლომის, ქრანის კავისის, უიარბებობით (სეთ მანქა მუხი) სიჩქარის მონე თვითმფრინვათი.

ძირითადი, ძლიერ ფართობად საფარავი მომუშავე იმპულსური ძრავა ინოვაციური პროგრესით, უჩრველყოფს ვიზირებრით სიჩქარეს, მრავალფუნქციური, ძლიერ ფართობად საფარავი მომუშავე მცირე იმპულსური ძრავა, მისი ძირითადი ფუნქციაა პროექტის ნიშნობის გამოცდისა, სფერული მანქანის ხაზინა, უჩრველყოფს გავრულ მალად მანქანებსა გადავირთვებასა და მალევე დაბრუნდება წინა პოზიციებში. ბარბანტი ტიპის სარკაბტო მანქანები მოწყობილობა, ბრბანტის სარკაბტო მასა, მასა 4,8 ტ. ასეთი მძღვრება უჩრველყოფს დიდ სიჩქარეზე გასროლას, 30 მმ. მრულსინი სწრაფსროლადი ძვირფასი 50 მს/წმ. საბრძოლო პროგრესი 1000 ტ. უძილყო ფუნქცი, მისი მანქანა მცირე ძრავა, უტანს ტიპის ტრინდანი, ასეთი მძღვრება უჩრველყოფს მალამანქანულობას და ახსოვდება ახლანდელი ნიშნობის პროგრესი, ნავის ვატიონის 40 მრულსინი ასეთი მძღვრება ნებისმიერი მძღვრებაა.

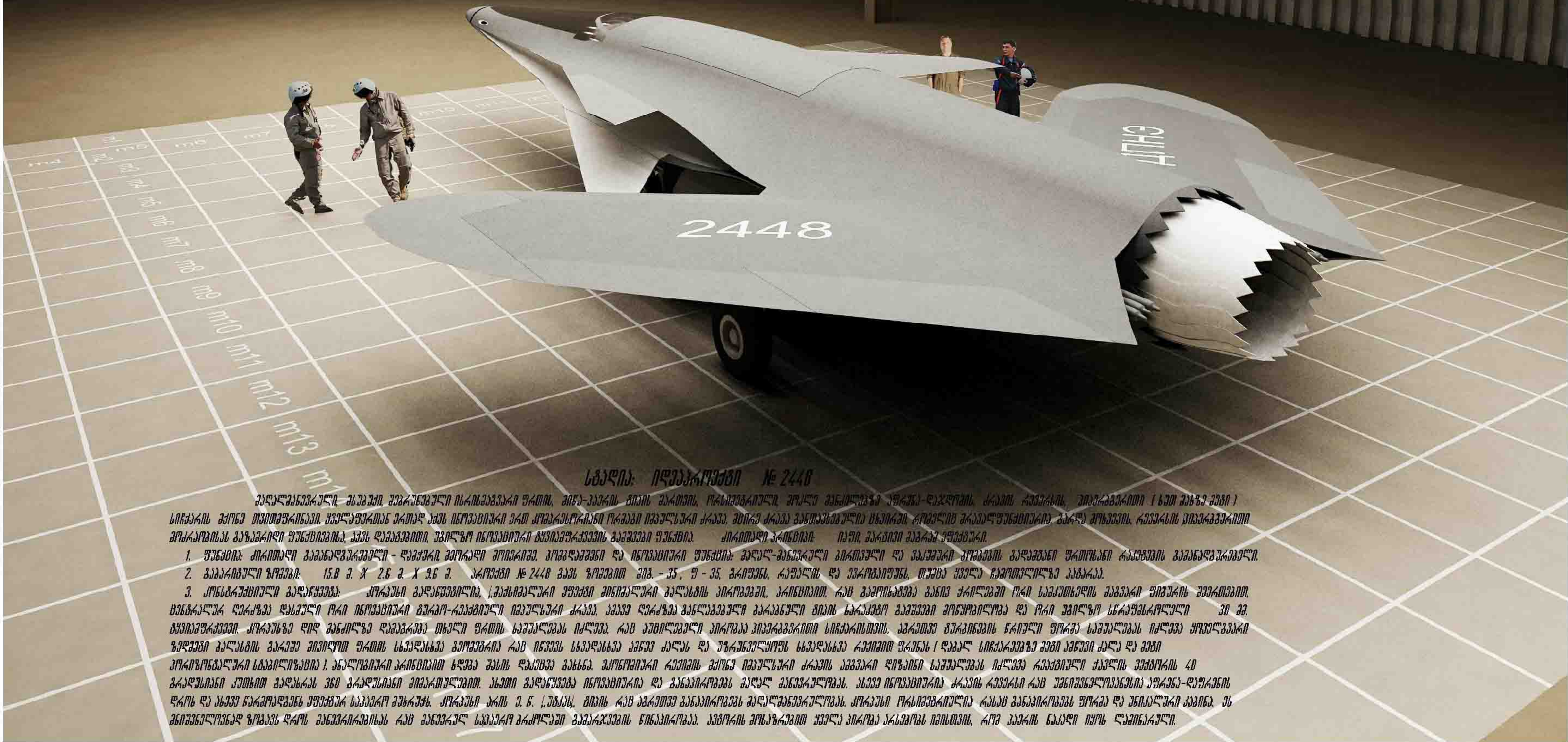


სპალინი: ილუარეპეტი № 2448

სპალინი ილუარეპეტი ნიშნობის მძღვრება უჩრველყოფს ვიზირებრით სიჩქარეს, მრავალფუნქციური, ძლიერ ფართობად საფარავი მომუშავე მცირე იმპულსური ძრავა, მისი ძირითადი ფუნქციაა პროექტის ნიშნობის გამოცდისა, სფერული მანქანის ხაზინა, უჩრველყოფს გავრულ მალად მანქანებსა გადავირთვებასა და მალევე დაბრუნდება წინა პოზიციებში. ბარბანტი ტიპის სარკაბტო მანქანები მოწყობილობა, ბრბანტის სარკაბტო მასა, მასა 4,8 ტ. ასეთი მძღვრება უჩრველყოფს დიდ სიჩქარეზე გასროლას, 30 მმ. მრულსინი სწრაფსროლადი ძვირფასი 50 მს/წმ. საბრძოლო პროგრესი 1000 ტ. უძილყო ფუნქცი, მისი მანქანა მცირე ძრავა, უტანს ტიპის ტრინდანი, ასეთი მძღვრება უჩრველყოფს მალამანქანულობას და ახსოვდება ახლანდელი ნიშნობის პროგრესი, ნავის ვატიონის 40 მრულსინი ასეთი მძღვრება ნებისმიერი მძღვრებაა.

1. უძილყო ფუნქცი: მრავალფუნქციური, ძლიერ ფართობად საფარავი მომუშავე მცირე იმპულსური ძრავა, მისი ძირითადი ფუნქციაა პროექტის ნიშნობის გამოცდისა, სფერული მანქანის ხაზინა, უჩრველყოფს გავრულ მალად მანქანებსა გადავირთვებასა და მალევე დაბრუნდება წინა პოზიციებში.
2. სარკაბტო მანქანები: ბარბანტი ტიპის სარკაბტო მანქანები მოწყობილობა, ბრბანტის სარკაბტო მასა, მასა 4,8 ტ. ასეთი მძღვრება უჩრველყოფს დიდ სიჩქარეზე გასროლას, 30 მმ. მრულსინი სწრაფსროლადი ძვირფასი 50 მს/წმ. საბრძოლო პროგრესი 1000 ტ. უძილყო ფუნქცი, მისი მანქანა მცირე ძრავა, უტანს ტიპის ტრინდანი, ასეთი მძღვრება უჩრველყოფს მალამანქანულობას და ახსოვდება ახლანდელი ნიშნობის პროგრესი, ნავის ვატიონის 40 მრულსინი ასეთი მძღვრება ნებისმიერი მძღვრებაა.
3. უჩრველყოფს ვიზირებრით სიჩქარეს: უჩრველყოფს ვიზირებრით სიჩქარეს, მრავალფუნქციური, ძლიერ ფართობად საფარავი მომუშავე მცირე იმპულსური ძრავა, მისი ძირითადი ფუნქციაა პროექტის ნიშნობის გამოცდისა, სფერული მანქანის ხაზინა, უჩრველყოფს გავრულ მალად მანქანებსა გადავირთვებასა და მალევე დაბრუნდება წინა პოზიციებში.

ძირითადი, ძლიერ ფაქტობრივ საწვავზე მომუშავე იმპულსური ძრავა ინოვაციური ჯომჯრუსიტით, უზრუნველყოფს ჰიჯრაბგარით სიჩქარეს. მრავალფუნქციური, ძლიერ ფაქტობრივ საწვავზე მომუშავე მცირე იმპულსური ძრავა, მისი ძირითადი ფუნქციონალია ჯომჯრუსი ნინელორის შეტყობილება. სფერული მანევრის ქაზიან, უზრუნველყოფს გვირვანად ალულ მანევრებზე გადატვირთვამაძლოებას ვიღრა არსებულ თვითმფრინვაებში. გარანტული ტივის სარაატო გაზვები მოწყობილობა, გომჯრუს სავარაუდო აქს. ანსა 4.8 ტ. ასეთი გადაწყვეტა უზრუნველყოფს დიდ სიჩქარეზე გასროლას. 30 მმ. ორლულიანი სტრუფმსროლული ტყვიამფრქვევი 50 გან/წმ. საბრძოლო ჯომჯრუბტი 1000 ც. უგილზო ვურვი. მისი გაგვრები მცირე ძრავა. უტანს ტივის ტრივლანი, ასეთი გადაწყვეტა უზრუნველყოფს ალულმანევრებზე და აბსოლუტურ ანწვი ბლას მინიმალური ნინელორის ჰიჯრაბგაში. წვის ვიჯტორის 40 გრადუსიანი კუთხით გადახრა ნებისმიერი მიმართულებით.



სტალინ: ილუარკოშვიტი № 2448

მალაქნავერული: ასევე, შეგროვებული ინსინაგავარი ფრთის, მიწა-პაერის ფრთის გაკითხის, ორსინფერული, შორეულ მანძილზე უფრენა-დაჯდომის, ძრავის კონტროლის, უმჯობესი (სეთი მანქა ვიტი) სიჩქარის მონქე თვითმფრინვანი. მანქანაფრთას მართავს მანქანა ინოვაციური მართ კომპარტმენტი ორსინფერული ორსინფერული ძრავა, მითივე ძრავა განთავსებულია ხეობრივ, რეგულირებად მანქანაფრთის მართვის კონტროლში. კონტროლი უმჯობესი. მანქანის მართვის კონტროლში მართვის კონტროლი უმჯობესი, მანქანაფრთის, უგილზო ინოვაციური მანქანაფრთის მართვის კონტროლში. მართვის კონტროლი უმჯობესი. მართვის კონტროლი უმჯობესი.

1. ფუნქციონალი: მართვის კონტროლი უმჯობესი - მანქანის მართვის კონტროლი უმჯობესი და ინოვაციური ფუნქციონალი: მალაქნავერული მართვის კონტროლი და მანქანის მართვის კონტროლი უმჯობესი მართვის კონტროლი უმჯობესი.
2. მანქანის მართვის კონტროლი: 15.8 მ. X 2.6 მ. X 3.6 მ. მართვის კონტროლი უმჯობესი მანქანის მართვის კონტროლი უმჯობესი და მანქანის მართვის კონტროლი უმჯობესი.
3. მანქანის მართვის კონტროლი: მართვის კონტროლი უმჯობესი, მანქანის მართვის კონტროლი უმჯობესი და მანქანის მართვის კონტროლი უმჯობესი.

ძირითადი, ძლიერ ფაქტობად საწვავზე მომუშავე იმპულსური ძრავა ინოვაციური ჯომრისორით, ურუნველყოფს ჰიპერბორით სიჩქარეს, მრავალფუნქციური, ძლიერ ფაქტობად საწვავზე მომუშავე მცირე იმპულსური ძრავა, მისი ძირითადი ფუნქციაა ჯომრისზე ნინელორის შედგინება. სფერული მანქანის ქაბინა, ურუნველყოფს ბევრად მაღალ მანქანებზე გადატვირთვაგამდლეობას ვიდრე არსებულ თვითმფრინავებში. ბარბანული ტივის სარაბატო გამგვები მოწყობილობა, ბომბების სავარაუდო მას. მასა 4.8 ტ. ასეთი გადაწყვეტა ურუნველყოფს დიდ სიჩქარეზე გასროლას, 30 მმ. კოლუდინანი სტრუქტურული ტვირთმტვირთვი 50 მას/მმ. საბრძოლო ჯომრულიატი 1000 ტ. უბილხო ჯურვი. მისი გამგვებია მცირე ძრავა. უტანს ტივის ტრინულიანი, ასეთი გადაწყვეტა ურუნველყოფს მაღალმანქანულობას და ახსოვლიტურ ამწავ ძალას მინიმალური ნინელორის ვირობებში. წვის ვაქტორის 40 მრადუსიანი ჯუთხით გადახრა ნებისმიერი მიმართულებით.



სტატიკა: ილუარქმები № 2448

პალანევიკული, მსუბუქი, მშენებელი ინსინგვარი ფრთის, მინა-პარის მინის პარტის, რისინგვიკული, ვიკული მინილენგა უფრენა-ღეჯეფრის, კარბის, კარბის, მანქანების მინი-ქაბინა მინი / სიჩქარის შენე თვითმფრინავი. მშენებელი ნინელორის მინილენგა უფრენა-ღეჯეფრის, კარბის, კარბის, მანქანების მინი-ქაბინა მინი / სიჩქარის შენე თვითმფრინავი. მშენებელი ნინელორის მინილენგა უფრენა-ღეჯეფრის, კარბის, კარბის, მანქანების მინი-ქაბინა მინი / სიჩქარის შენე თვითმფრინავი.

1. ფუნქცია: ძირითადი მანქანების მინილენგა უფრენა-ღეჯეფრის, კარბის, კარბის, მანქანების მინი-ქაბინა მინი / სიჩქარის შენე თვითმფრინავი.
2. მანქანების მინილენგა უფრენა-ღეჯეფრის, კარბის, კარბის, მანქანების მინი-ქაბინა მინი / სიჩქარის შენე თვითმფრინავი.
3. მანქანების მინილენგა უფრენა-ღეჯეფრის, კარბის, კარბის, მანქანების მინი-ქაბინა მინი / სიჩქარის შენე თვითმფრინავი.

ზოგადი დახასიათება

მაღალმანევრული მსუბუქი, შებრუნებული ისრისმაგვარი ფრთის მიწა-ჰაერი ტიპის მართვის, ორსიმეტრიული, მოკლე მანძილზე აფრენა-დაჯდომის, ძრავის რევერსის ჰიპერბგერითი (5 მახზე მეტი) სიჩქარის მქონე თვითმფრინავი. აქვს ინოვაციური ერთკომპრესორიანი ორმაგი იმპულსური ძრავა. მცირე ძრავა განთავსებულია ცხვირის ნაწილში, რომელიც მრავალფუნქციურია. გარდა მოხვევის, რევერსის, ჰიპერბგერითი მოძრაობისას გაზამრიდი ფუნქციებისა, აქვს დამატებითი, უგილზო ინოვაციური ტყვიამფრქვევის გამშვები ფუნქცია.

ძირითადი პრინციპი: იაფი, მარტივი მაგრამ ეფექტური.

- ფუნქცია: ძირითადი გამანადგურებელი-დამჭერი, მეორადი მოიერიშე, ბომბდამშენი და ინოვაციური ფუნქცია: მაღალმანევრული ბირთვული და ვაკუუმური ბომბების გადამტანი ფრთოსანი რაკეტების გამანადგურებელი.
- გაბარიტული ზომები: 15.8×2.6×9.6 მ. პროექტი # 2448 გავს ზომებით МИГ-35, F-35, GRIFEN, RAFAL, თუმცა ყველა ჩამოთვლილზე პატარაა.
- კონსტრუქციული გადაწყვეტა: კორპუსი გადაწყვეტილია, „მაქსიმალური ეფექტი მინიმალური ბალასტის პირობებში“ პრინციპით, რაც გამოიხატება განივ ჭრილებში ორი სამკუთხედის მაგვარი ფიგურის შეერთებით. ცენტრალურ ღერძზე არის დასმული ორი ინოვაციური ტურბო-რეაქტიული იმპულსური ძრავა. ამავე რერძზეა განლაგებული ბარაბნული სარაკეტო გამშვები მოწყობილობა და ორი უგილზო, ორლულიანი, სწრაფმსროლელი 30 მმ. ტყვიამფრქვევი. კორპუსზე დიდ მანძილზე დამაგრება, თხელი ფრთის განხორციელების საშუალებას იძლევა ზედმეტი ბალასტის გარეშე.

ეკონომიური რეჟიმის მქონე იმპულსური ძრავის ამგვარი დიზაინი საშუალებას იძლევა რეაქტიული ჭავლის ვექტორის 40° კუთხით გადახრას 360° მიმართულებით. მცირე ძრავის რევერსი უმნიშვნელოვანესია აფრენა დაფრენის დროს და ასევე წარმოადგენს ეფექტურ საჰაერო მუხრუჭს. კორპუსი არის „უტკას“ ტიპის რაც აგრეთვე განაპირობებს მაღალმანევრულობას. კორპუსი ორსიმეტრიულია, რასაც განაპირობებს ფორმა და უნიკალური კაბინა. ეს მნიშვნელოვნად ზოგავს დროს მანევრირებისას, რაც მანევრულ საჰაერო ბრძოლებში გამარჯვების წინაპირობაა.

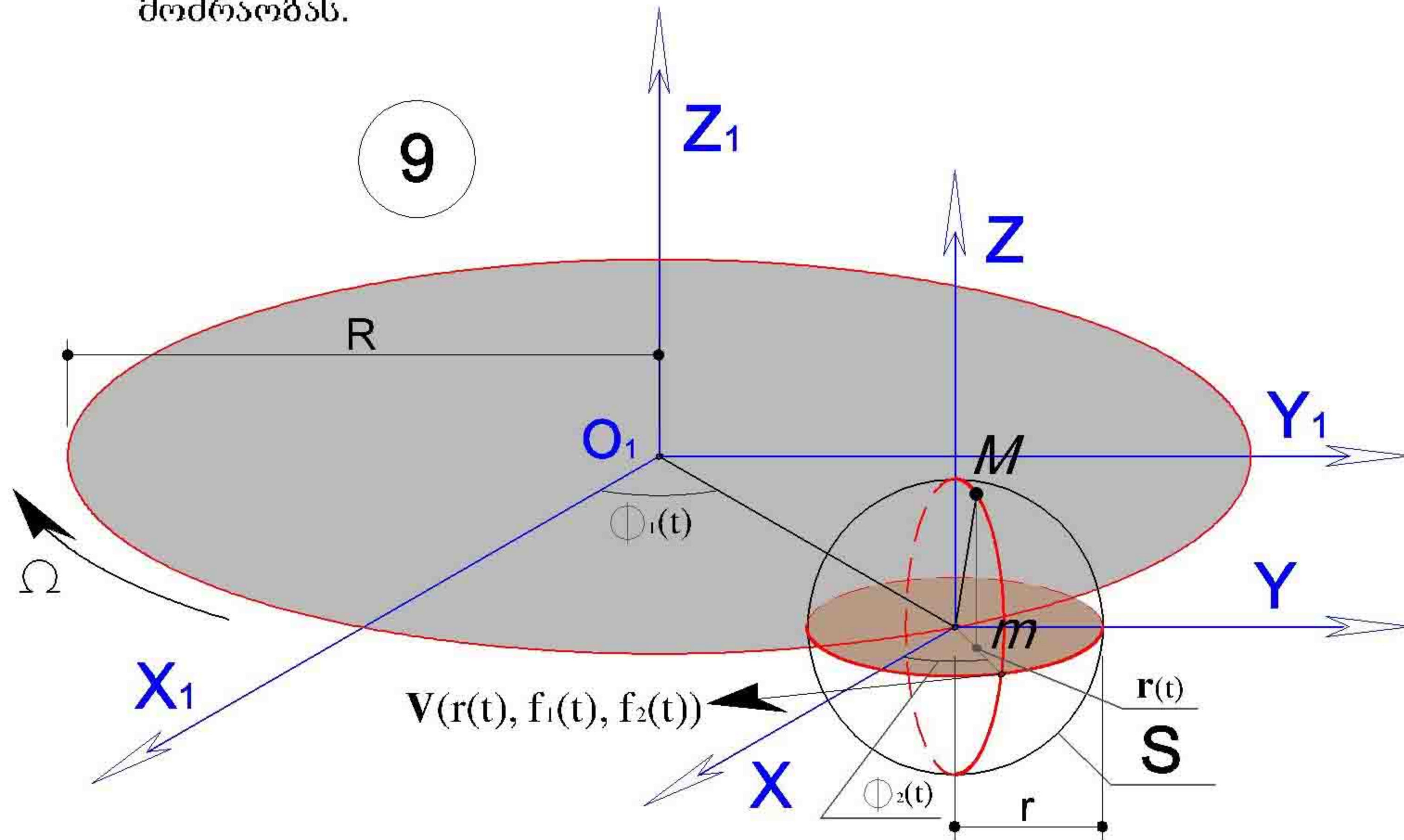
მაშასუ, როდესაც თვითმფრინავი უხვევს R რადიუსიან წრეზე, წარმოვიდგინოთ შემდეგი გამარტივებული ამოცანა (ნახ.9). სადაც S სფერო არის თვითმფრინავის კაბინა. მოვახდინოთ პირველი მიახლოება. გადატვირთვის დროს ადამიანში ყველაზე სუსტი წერტილია გული, ამიტომ მას დავრქვათ m წერტილი და ამ ეტაპზე მისთვის შევასრულოთ ანტიგადატვირთვის გამომწვევი „სფერული მანქანი“. m არის M -ის პროექცია XOY სიბრტყეში. როგორც ავლინებთ, დავუშვათ თვითმფრინავი უხვევს R რადიუსიან წრეზე, მაშინ ჩვენი სისტემა სამგანზომილებიან სივრცეში დაიხატება შემდეგნაირად (ნახ.9).

მოვახდინოთ კიდევ ერთი გამარტივება, კერძოდ (ნახ.9) სისტემას დავხედოთ Z ღერძის გასწვრივ. მაშინ ჩვენ დავინახავთ ზემოთ განხილულ (ნახ.6) სისტემის ანალოგიურ სისტემას (ნახ.10).

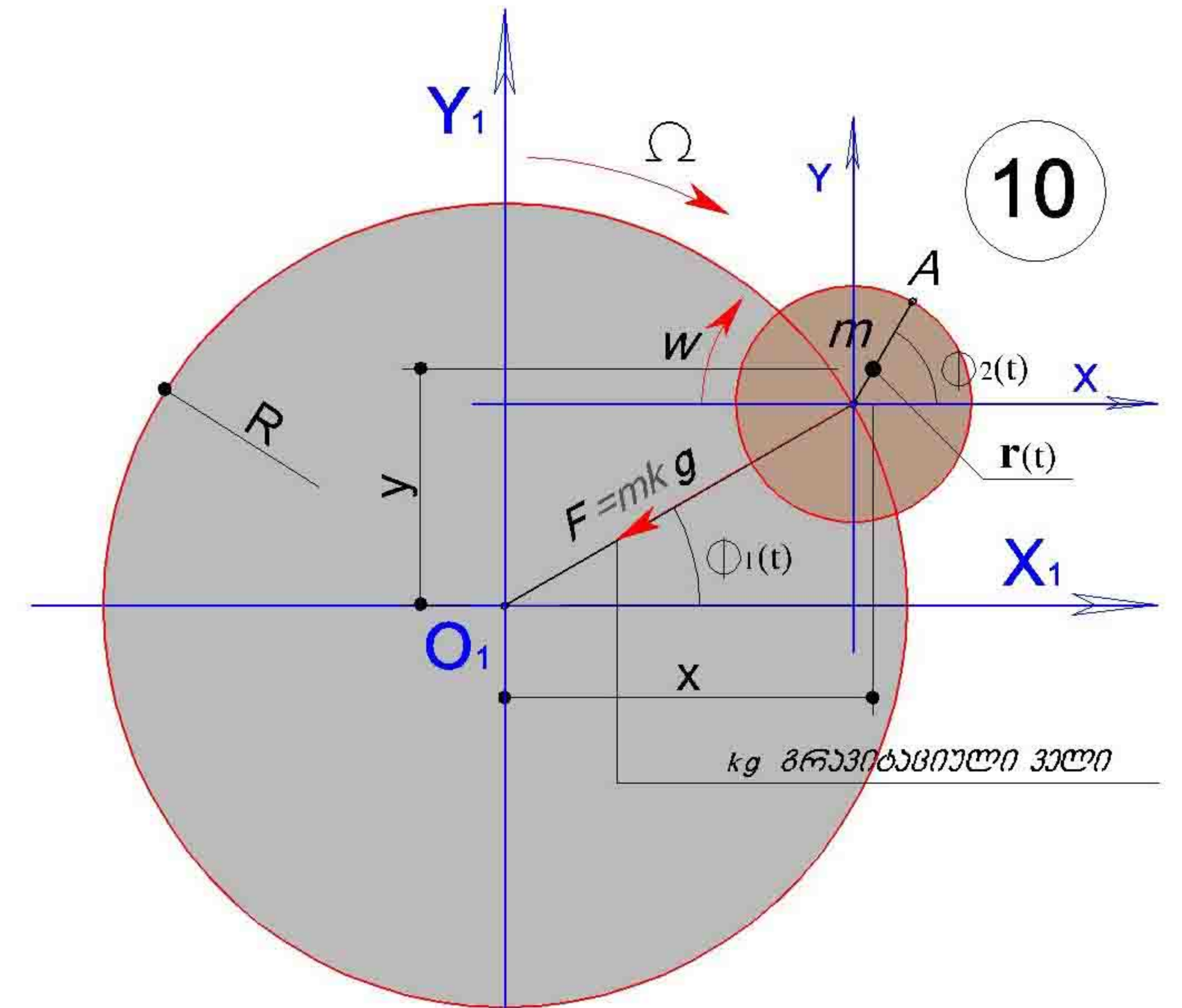
მოვახდინოთ შემდეგი გამარტივება. დავუშვათ R მუდმივია და შემოვიღოთ t პარამეტრი და დავუშვათ, რომ $\varphi_1(t)$, $\varphi_2(t)$, $r(t)$ არიან t პარამეტრის ფუნქციები. შესაძლებელია $\varphi_1(t)$, $\varphi_2(t)$ და $r(t)$ დამოუკიდებელი ცვლადების მიმართ შევადგინოთ m წერტილის მოძრაობის განტოლებების უამრავი ვარიანტი. თუმცა ცნობილია, რომ თუ მოძრაობის განტოლებები მიღებულია ქმედების ვარიაციის 0-თან ტოლობიდან:

$$\delta S = \delta \int \mathcal{L} dt = 0 \quad (1)$$

მაშინ m წერტილის მოძრაობის აღმწერი განტოლებათა სისტემა აღწერს m წერტილის მინიმალური ენერჯის პირობებში მოძრაობას.



თვითმფრინავი უხვევს R რადიუსიან წრეზე მუდმივი Ω კუთხური სიჩქარით. ნახატზე გამოსახული S სფერო არის თვითმფრინავის კაბინა. M წერტილი იყოს კაბინაში მდებარე პილოტის გული, ხოლო m წერტილი კი მისი პროექცია XOY სიბრტყეში. როგორც ნახატზე ჩანს M წერტილის რადიუსი მუდმივი სიდიდეა და r -ის ტოლია. მას შეუძლია მოძრაობა სფეროზე ნებისმიერად. ნახატის მიხედვით m წერტილის რადიუს-ვექტორი გამოდის t პარამეტრის ფუნქციად, ისევე როგორც $\varphi_1(t)$ და $\varphi_2(t)$ ფუნქციები.



6 ნახატის ანალოგიურ ნახატს მივიღებთ, თუ განვიხილავთ 11 ნახატის პროექციას XOY სიბრტყეში.

თვითმფრინავი უხვევს R რადიუსიან წრეზე მუდმივი კუთხური სიჩქარით. ნახატზე გამოსახული პატარა წრე არის თვითმფრინავის კაბინა. m წერტილი არის კაბინაში მდებარე პილოტის გულის შესაბამისი M წერტილის პროექცია XOY სიბრტყეში. როგორც ნახატზე ჩანს m წერტილის რადიუსი არის t პარამეტრის ფუნქცია. მას შეუძლია მოძრაობა r რადიუსიან წრეზე ნებისმიერად. t პარამეტრის ფუნქციებია ასევე $\varphi_1(t)$ და $\varphi_2(t)$.

(1) განტოლებაში $L = T - U$ წარმოადგენს ლაგრანჟის ფუნქციას. ვიპოვოთ m მასის სხეულის \vec{v} სიჩქარე.

$$\begin{cases} x = R \cos(\varphi_1(t)) + r(t) \cos(\varphi_2(t)) \\ y = R \sin(\varphi_1(t)) + r(t) \sin(\varphi_2(t)) \end{cases}$$

აქედან

$$\begin{cases} \dot{x} = -R \sin(\varphi_1(t)) \dot{\varphi}_1(t) + \dot{r} \cos\varphi_2 - r(t) \sin(\varphi_2(t)) \dot{\varphi}_2(t) \\ \dot{y} = R \cos(\varphi_1(t)) \dot{\varphi}_1(t) + \dot{r} \sin\varphi_2 + r(t) \cos(\varphi_2(t)) \dot{\varphi}_2(t) \\ v^2 = \dot{x}^2 + \dot{y}^2 \end{cases}$$

სისტემიდან მივიღებთ სიჩქარის კვადრატს განმსაზღვრელ ფორმულას

$$v^2 = R^2 \dot{\varphi}_1^2 + \dot{r}^2 + \varphi_2^2 r^2 + 2R\dot{r}(\sin(\varphi_2 - \varphi_1))\dot{\varphi}_1 + 2Rr(\cos(\varphi_2 - \varphi_1))\dot{\varphi}_1\dot{\varphi}_2$$

m წერტილის კინეტიკური ენერგია იქნება

$$T = \frac{mv^2}{2}$$

რომლის განსაზღვრა მარტივია.

პრობლემას წარმოადგენს (ხურ.10) U პოტენციური ენერგია. პოტენციალის უკეთ გარკვევის მიზნით განვიხილოთ შემდეგი მაგალითი. დაუშვათ რაღაც m წერტილი მოძრაობს რომელიღაც l წირზე $a(t)$ აჩქარებით ანუ რაღაც l მხეში სიჩქარით. ცნობილია, რომ $a(t)$ აჩქარება შეგვიძლია დავშალოთ ტანგენციალურ და ნორმალურ მდგენელებად. ჩვენთვის საინტერესოა აჩქარების ნორმალური მდგენელი ანუ „ცენტრისკენული აჩქარება“.

როგორც ზემოთ გვექონდა აღნიშნული შეგვიძლია დავუშვათ რომ m სხეული მოძრაობს $k\vec{g}$ გრავიტაციულ ველში $a(t)$ აჩქარებით. ამავდროულად გრავიტაციული

$$\vec{E} = k\vec{g}$$

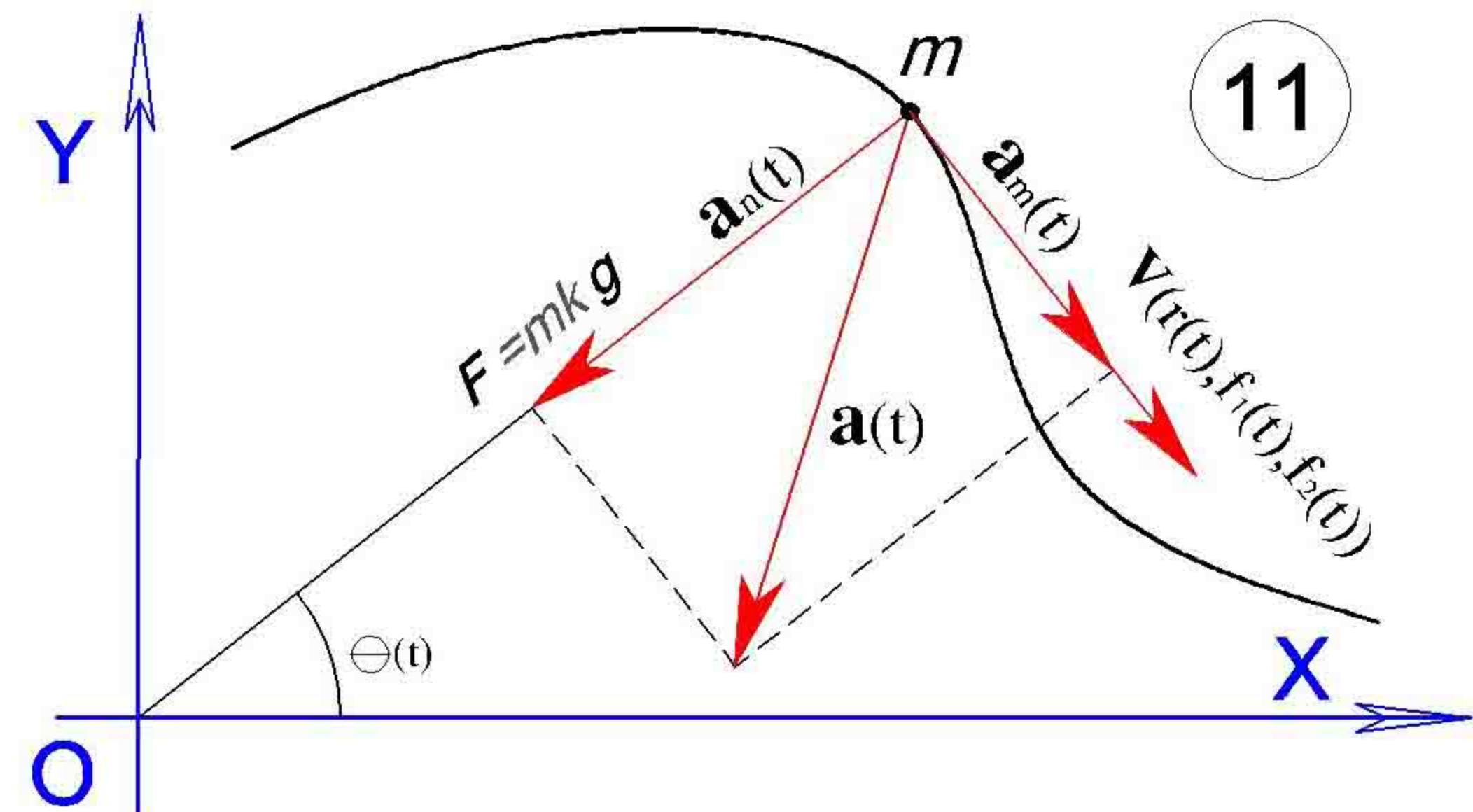
ველის წყაროა ერთეულოვანი მასის O კოორდინატთა სათავე. მაშინ შეგვიძლია ვთქვათ, რომ O ცენტრი m წერტილზე მოქმედებს:

$$\vec{F} = mk\vec{g} = ma(t)$$

ძალით. მეორე მხრივ ვიცით, რომ ასეთი სახის ძალა ცენტრისკენული ხასიათის ძალაა და შესაძლებელია ჩავწეროთ შემდეგი სახით (ნახ.11)

$$\vec{F} = \frac{m\vec{v}^2(\varphi_1(t), \varphi_2(t), t)}{\vec{r}(t)}$$

სადაც \vec{v} არის m მასის სხეულის სიჩქარე.



რადგან დაუშვით რომ O წერტილი ქმნიდა \vec{E} გრავიტაციულ ველს, სადი აზრი გვკარნახობს, რომ უნდა არსებობდეს ამ ველის შესაბამისი პოტენციალი და ამ ძალის შესაბამისი U პოტენციალური ენერგია, რომელიც გამოისახება შემდეგი სახით $U = - \int F ds$ სადაც $ds = d(r\theta)$. აქედან მივიღებთ რომ სისტემის შესაბამის პოტენციალს ექნება შემდეგი სახე

$$U = - \int m v^2 d\theta(\varphi_1, \varphi_2) - \int m \frac{v^2}{r(t)} \theta(\varphi_1, \varphi_2) dt(t).$$

ეხლა საშუალება გვაქვს ჩავწეროთ ლაგრანჟიანი.

$$L = \frac{m v^2}{2} + \int m v^2 d\theta(\varphi_1, \varphi_2) + \int m \frac{v^2}{r(t)} \theta(\varphi_1, \varphi_2) dt(t)$$

რომლის მეშვეობითაც უნდა ამოვხსნათ ეილერ-ლაგრანჟის მოძრაობის განტოლებები სადაც $i=1, 2, 3$

$$\frac{d}{dt} \left(\frac{\partial L}{\partial \dot{q}_i} \right) - \frac{\partial L}{\partial q_i} = 0$$

ამ განტოლებაში q_i არის განზოგადოებული კოორდინატები, კერძოდ $q_1 = \varphi_1(t)$, $q_2 = \varphi_2(t)$ და $q_3 = r(t)$.

$$\begin{cases} m \frac{d}{dt} \left\{ \frac{\partial v^2}{\partial \dot{r}} + 2 \frac{\partial}{\partial \dot{r}} \int \frac{v^2}{\tau(\varphi_2, \varphi_1, r(t))} \tau d\theta(\varphi_2, \varphi_1, r) + 2 \frac{\partial}{\partial \dot{r}} \int \frac{v^2}{\tau} \theta d\tau \right\} - m \left\{ \frac{\partial v^2}{\partial r} + 2 \frac{\partial}{\partial r} \int \frac{v^2}{\tau} \tau d\theta + 2 \frac{\partial}{\partial r} \int \frac{v^2}{\tau} \theta d\tau \right\} = 0 \\ m \frac{d}{dt} \left\{ \frac{\partial v^2}{\partial \dot{\varphi}_1} + 2 \frac{\partial}{\partial \dot{\varphi}_1} \int \frac{v^2}{\tau(\varphi_2, \varphi_1, r(t))} \tau d\theta(\varphi_2, \varphi_1, r) + 2 \frac{\partial}{\partial \dot{\varphi}_1} \int \frac{v^2}{\tau} \theta d\tau \right\} - m \left\{ \frac{\partial v^2}{\partial \varphi_1} + 2 \frac{\partial}{\partial \varphi_1} \int \frac{v^2}{\tau} \tau d\theta + 2 \frac{\partial}{\partial \varphi_1} \int \frac{v^2}{\tau} \theta d\tau \right\} = 0 \\ m \frac{d}{dt} \left\{ \frac{\partial v^2}{\partial \dot{\varphi}_2} + 2 \frac{\partial}{\partial \dot{\varphi}_2} \int \frac{v^2}{\tau(\varphi_2, \varphi_1, r(t))} \tau d\theta(\varphi_2, \varphi_1, r) + 2 \frac{\partial}{\partial \dot{\varphi}_2} \int \frac{v^2}{\tau} \theta d\tau \right\} - m \left\{ \frac{\partial v^2}{\partial \varphi_2} + 2 \frac{\partial}{\partial \varphi_2} \int \frac{v^2}{\tau} \tau d\theta + 2 \frac{\partial}{\partial \varphi_2} \int \frac{v^2}{\tau} \theta d\tau \right\} = 0 \end{cases}$$

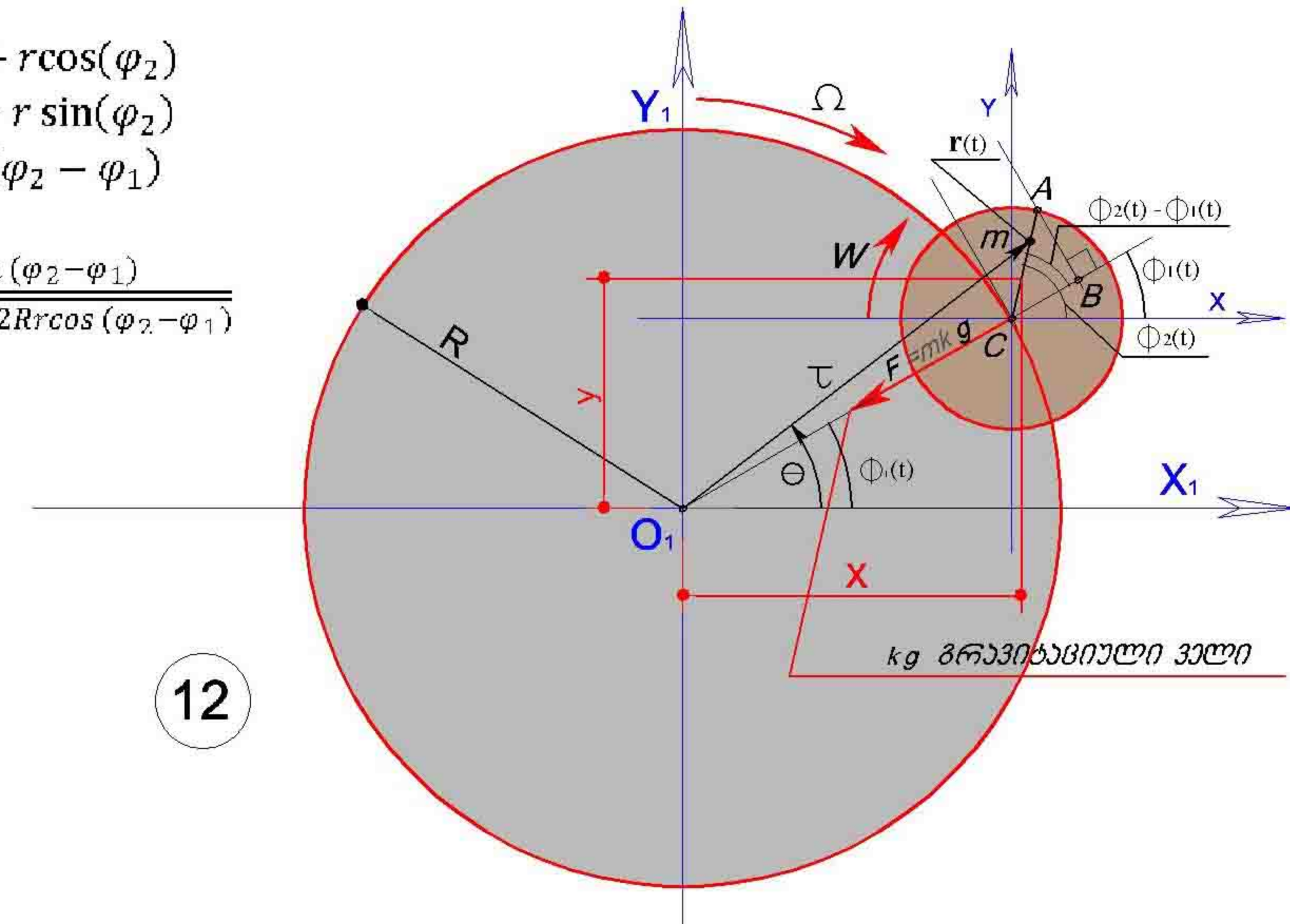
როგორც ვხედავთ ამოცანის ანალიზური ამოხსნა ძალიან რთული საქმეა, ამიტომ მივმართოთ შემდეგ ხერხს. ამოცანის გადასაჭრელად განვიხილოთ ნახ.12 გამოსახული მოდელი.

OA წერტილების შემაერთებელი ვექტორი ავღნიშნოთ τ ხოლო ამ ვექტორის მოზრუნების კუთხე ავღნიშნოთ θ -თი, τ წინა აღნიშვნებთან დაკავშირებულია შემდეგი სისტემით

$$\begin{cases} \tau \cos(\theta) = R \cos(\varphi_1) + r \cos(\varphi_2) \\ \tau \sin(\theta) = R \sin(\varphi_1) + r \sin(\varphi_2) \\ \tau \sin(\theta - \varphi_1) = r \sin(\varphi_2 - \varphi_1) \end{cases}$$

სადაც

$$\tau = \sqrt{R^2 + r^2 + 2Rr \cos(\varphi_2 - \varphi_1)} \quad \text{და} \quad \theta = \varphi_1 + \arcsin \frac{r \sin(\varphi_2 - \varphi_1)}{\sqrt{R^2 + r^2 + 2Rr \cos(\varphi_2 - \varphi_1)}}$$



თუ ლაგრაჟის განტოლებების მეშვეობით განვსაზღვრავთ τ და θ , მაშინ ვიპოვიტ $r(t)$, $\varphi_1(t)$ -ს და $\varphi_2(t)$ -ს.

m წერტილის კოორდინატებისათვის გვაქვს შემდეგი განტოლებები

$$\begin{cases} x = \tau(t)\cos\theta \\ y = \tau(t)\sin\theta \end{cases}$$

სიჩქარეების მდგენელებისათვის მივიღებთ

$$\begin{cases} \dot{x} = \dot{\tau}\cos\theta - \tau\sin\theta\dot{\theta} \\ \dot{y} = \dot{\tau}\sin\theta + \tau\cos\theta\dot{\theta} \end{cases}$$

ამ სისტემიდან სიჩქარის კვადრატისთვის მივიღებთ

$$v^2 = \dot{x}^2 + \dot{y}^2 = \dot{\tau}^2 + \tau^2\dot{\theta}^2.$$

(ნახ.12) მიხედვით ჩავწეროთ ლაგრაჟიანი

$$\mathcal{L} = \frac{mv^2}{2} + \int m v^2 d\theta + \int m \frac{v^2}{r(t)} \theta d\tau =$$

$$\frac{m(\dot{\tau}^2 + \tau^2\dot{\theta}^2)}{2} + \int m(\dot{\tau}^2 + \tau^2\dot{\theta}^2) d\theta + \int m \frac{(\dot{\tau}^2 + \tau^2\dot{\theta}^2)}{r(t)} \theta d\tau.$$

ეილერ-ლაგრაჟის განტოლებები უნდა ამოიხსნას მოცემული ლაგრაჟის ფუნქციის მიხედვით.

$$\frac{d}{dt} \left(\frac{\partial \mathcal{L}}{\partial \dot{q}_i} \right) - \frac{\partial \mathcal{L}}{\partial q_i} = 0$$

სადაც q_i არის განზოგადოებული კოორდინატები, $i=1, 2$. $q_1 = \tau$ და $q_2 = \theta$

$$\begin{cases} m\ddot{\tau} + 2m\dot{\tau}\dot{\theta} + 2m\theta\dot{\theta}^2 = m \int \frac{\dot{\tau}^2}{\tau} d\tau \\ m\ddot{\theta} + 2m\dot{\theta}\dot{\tau} + 2m\theta\frac{\dot{\tau}^2}{\tau} - m\tau\dot{\theta}^2 = 2m\tau \int \dot{\theta}^2 d\theta \end{cases}$$

ამ განტოლებებს აქვს უფრო მარტივი სახე ვიდრე ზემოთ განხილულს.

ამ სისტემის ამონახსნები საშუალებას მოგვცემს განვსაზღვროთ $r(t)$, $\varphi_1(t)$ და $\varphi_2(t)$ საძიებელი ფუნქციები.

